

## บทที่ 2

### วิธีการวิจัย

#### 2.1 วัสดุและอุปกรณ์

##### 2.1.1 ตัวอย่าง

- เมล็ดทานตะวันสายพันธุ์แปซิฟิก – 33 (บริษัทแปซิฟิกเมล็ดพันธุ์ ศรีบูรี)

##### 2.1.2 สารเคมีสำหรับเตรียมสารละลายน้ำ APW (artificial pond water)

- โซเดียมคลอไรด์ (NaCl, AR Grade : Analytical Carlo Erba, France)
- โพแทสเซียมคลอไรด์ (KCl, AR Grade :Merk, Germany)
- แคลเซียมคลอไรด์ไฮเดรต ( $\text{CaCl}_2 \cdot 2\text{H}_2\text{O}$ , AR Grade :Analytical Carlo Erba, France)
- โซเดียมซัลเฟต ( $\text{Na}_2\text{SO}_4$  , AR Grade :Merk, Germany)
- โพแทสเซียมซัลเฟต ( $\text{K}_2\text{SO}_4$  , AR Grade :Merk, Germany)
- แคลเซียมซัลเฟต ( $\text{CaSO}_4$  , AR Grade :Merk, Germany)
- อัลูมิเนียมคลอไรด์ ( $\text{AlCl}_3$ , AR Grade: Fluka, Switzerland )
- ทริสไฮdroอกซิเมธิลอะมีโนมีเทน (Tris – Hydroxymethyl – aminomethane) ( $\text{C}_4\text{H}_{11}\text{NO}_3$ , AR Grade: Fluka, Switzerland )
- 2-มอร์โฟลิโนเอ็นชัลฟอนิกแอcidโมโนไฮเดรต(2-Morpholinoethansulfonic acid Monohydrate)( $\text{C}_6\text{H}_{13}\text{NO}_4\text{S.H}_2\text{O}$ , AR Grade: Fluka, Switzerland)

##### 2.1.3 สารเคมีสำหรับชุดอิเล็กโทรด

- แพลทินัมคลอไรด์ ( $\text{H}_2\text{PtCl}_6 \cdot \text{H}_2\text{O}$ , AR Grade: Fluka, Switzerland)
- ทองโพแทสเซียมไไซยาไนด์ (AuKCN, AR Grade: Degussa, Germany)
- เลดอะซีเตต (( $\text{CH}_3\text{COO}$ )<sub>2</sub>Pb.3H<sub>2</sub>O, AR Grade: Baker Analyzed, USA)

##### 2.1.4 สารเคมีอื่น ๆ ที่จำเป็น

- สารละลายน้ำฟีฟอร์มานาตรฐาน pH 4.0, pH 7.0 และ pH 10.0 (AR Grade: Merk, Germany)
- กรดไฮโดรคลอริก (HCl, AR Grade: BDH, England)
- อะซิโตน (Acetone) ( $\text{CH}_3\text{COCH}_3$ , AR Grade: Carlo Erba, France)

- โซเดียมไฮโปคลอไรท์ (ไฮเตอร์) (hypochlorite as available chlorine 6% w/w)

#### 2.1.5 อุปกรณ์สำหรับเพาะเมล็ดทานตะวัน

- จานเพาะเชือขนาดเส้นผ่านศูนย์กลาง 10.00 ± 0.05 เซนติเมตร
- ตู้มีด
- เทอร์โมมิเตอร์ (thermometer)
- บีกเกอร์ขนาด 10 และ 30 มิลลิลิตร (PYREX, USA)
- กระดาษทิชชู

#### 2.1.6 อุปกรณ์สำหรับวัดกระแสไฟฟ้าไอออน

- ระบบไวยาเบรติงโพร์บ (Vibrating probe system) ประกอบด้วย
  - ออสซิลเลเตอร์ (osillator) ทำหน้าที่จ่ายสัญญาณรูปซายน์ (sine)
  - ไวยาเบรเตอร์แอกซ์เซมบลี (vibrator assembly) ทำหน้าที่ให้อิเล็กโทรดสั่นกลับไปกลับมา
  - PSD (phase sensitive detector) ทำหน้าที่รับสัญญาณและปรับเฟสของสัญญาณ
  - ส่วนขยายสัญญาณ (preamplifier)
  - ส่วนกรองสัญญาณ (filter)
  - อุปกรณ์จับยึดไวยาเบรเตอร์แอกซ์เซมบลีที่เชื่อมต่อกับโพร์บ 3 มิติ (3D micromanipulator)(Narishige, Tokyo, Japan)
  - เครื่องบันทึกสัญญาณ (chart recorder: Kipp & Zonen, BD41, Holland)
  - กล้องจุลทรรศน์แบบอินเวอร์ท (inverted microscope, Olympus, CK40, Tokyo, Japan)
  - กล้องจุลทรรศน์สเตเตอโรไโอล (stereo microscope, Olympus, SZ, Tokyo, Japan)
  - โพร์บ (parylence -coated stainless-steel electrode, Microprobe, Clarkburg, MD, USA)
  - มัลติมิเตอร์ (multimeter, Fluke 87, USA)
  - ฟาราเดย์เคจ (Faraday cage)

### 2.1.7 อุปกรณ์สำหรับเตรียมไมโครอิเล็กโทรดปรับเทียบ

- ลวดเงินเส้นผ่านศูนย์กลาง  $0.33 \pm 0.05$  มิลลิเมตร ยาว  $10.00 \pm 0.05$  เซนติเมตร (silver wire purity 99.99 %, Advent Research Materials Ltd., England)
- ไมโครปีเปต (micropepette) ทำจากหลอดแก้ว (Borosillica with filament) เส้นผ่านศูนย์กลางภายนอก  $1.00 \pm 0.05$  มิลลิเมตร และเส้นผ่านศูนย์กลางภายใน  $0.58 \pm 0.05$  มิลลิเมตร (Clark Electromedical Instruments, England)
- เครื่องให้ความร้อนและคนของเหลวด้วยแรงแม่เหล็ก ( hotplate/ magnetic stirrer, Framo –Geratetechnik, Typ M21/1, Germany)

### 2.1.8 อุปกรณ์สำหรับเตรียมอิเล็กโทรดอ้างอิง

- ลวดแพลทินัมเส้นผ่านศูนย์กลาง  $0.40 \pm 0.05$  มิลลิเมตร ยาว  $4.00 \pm 0.05$  เซนติเมตร
- แบบเดอร์ชีนาด 9 โวลต์

### 2.1.9 วัสดุและอุปกรณ์อื่นๆ ที่จำเป็น

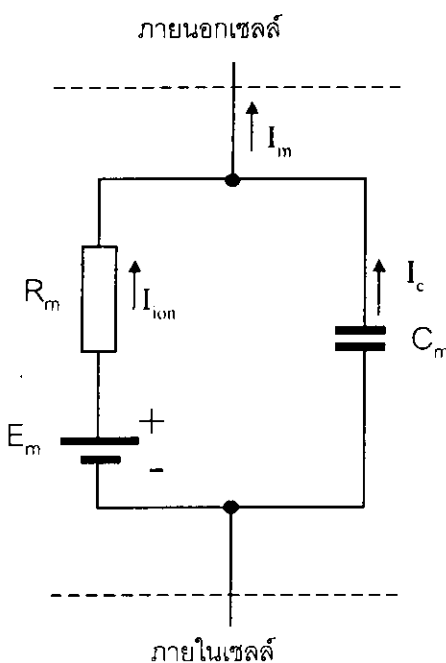
- เครื่องวัดสภาพน้ำไฟฟ้า (conductivity meter, Jenway model 4310, England)
- เครื่องวัดความเป็นกรด-ด่าง (pH meter, Corning model 220, England)
- เครื่องซึ้ง (Mettler PJ300: Mettler, Switzerland)
- กระดาษบันทึกสัญญาณ (chart recorder paper)

## 2.2 หลักการและทฤษฎี

การเคลื่อนที่ของไอออนผ่านผนังเมมเบรนของเซลล์เกิดเนื่องจากความเข้มข้นที่แตกต่างกันระหว่างภายนอกและภายนอกเซลล์ การเคลื่อนที่ของไอออนเหล่านี้จะทำให้เกิดกระแสไฟฟ้าไอออนกระแสไฟฟ้าปริมาณน้อยที่เกิดขึ้นอย่างต่อเนื่องนี้มีขนาดอยู่ในระดับไมโครแอมเปอร์ต่อตารางเซนติเมตร โดยกระแสไฟฟ้าที่เกิดขึ้นจะเกี่ยวข้องกับกลไกบางอย่างของเซลล์สิ่งมีชีวิตหลายชนิด เช่น การนำอาหารเข้าสู่เซลล์ การส่งสัญญาณภายนอกและระหว่างเซลล์ รวมทั้งควบคุมการเจริญเติบโตและการพัฒนาของเซลล์พืชและสัตว์ (Jaffe and Nuccitelli , 1974; Jaffe et al., 1977)

กระแสไฟฟ้าที่ให้ผลเข้า – ออกเมมเบรนที่เกิดจากการเคลื่อนที่ของไอออนที่มีความเข้มข้นต่างกันระหว่างภายนอกและภายนอกเซลล์มีลักษณะเช่นเดียวกับกระแสไฟฟ้าที่เกิดจากการการเคลื่อนที่ของ

อิเล็กตรอนในวงจรไฟฟ้าที่มีศักย์ไฟฟ้าต่างกัน หากพิจารณากราฟกระแสไฟฟ้าไออกอนสุทธิที่ผ่านเมมเบรนสามารถจำลองวงจรไฟฟ้าที่สมมูลกับเมมเบรนอย่างง่ายได้ดังภาพประกอบ 6 วงจรสังเกตว่า ประกอบด้วยความต้านทานของเมมเบรน ( $R_m$ ) ต่ออนุกรมกับแบตเตอรี่ซึ่งมีค่าศักย์ไฟฟ้าเท่ากับศักย์เมมเบรน ( $E_m$ ) ซึ่งคือ ความต่างศักย์ไฟฟ้าระหว่างภายในและภายนอกเซลล์ และเนื่องจากศักย์เมมเบรนนั้นหากมีการเปลี่ยนแปลงไป การเปลี่ยนแปลงจะเป็นฟังชันก์ของเวลาซึ่งลักษณะดังกล่าวแทนด้วยตัวเก็บประจุ ( $C_m$ ) ดังแสดงในภาพ



ภาพประกอบ 6 วงจรไฟฟ้าอย่างง่ายที่สมมูลกับเมมเบรน

(ปรับปรุงจาก Ronto and Tarjan, 1999)

ดังนั้นกระแสไฟฟ้าที่ไหลผ่านจากภายในเซลล์ผ่านเมมเบรนไปยังภายนอกคือ

$$I_m = I_{ion} + I_c \quad (1)$$

โดย  $I_m$  = กระแสไฟฟ้าที่ไหลผ่านเมมเบรน

$I_{ion}$  = กระแสไฟฟ้าเนื่องจากการเคลื่อนที่ของไอออนชนิดต่างๆ ผ่านเมมเบรน

และ  $I_c$  = กระแสไฟฟ้าที่ผ่านตัวเก็บประจุของเมมเบรน

จากการศึกษาสมบัติทางไฟฟ้าของเซลล์ชนิดต่างๆ ทำให้ทราบถึงชนิดของไอออนที่เป็นส่วนสำคัญของกระแสไฟฟ้าไออกอน ตัวอย่างเช่นในเซลล์ปะสาทของสัตว์  $\text{Na}^+$ ,  $\text{K}^+$  และ  $\text{Cl}^-$  เป็นไออกอน

ที่สำคัญและสามารถเขียนวงจรไฟฟ้าที่สมมูลกับเมมเบรนได้ดังภาพประกอบ 7 การยอมให้ออกอนผ่านเข้าออกเมมเบรนจะขึ้นกับค่าความต้านทานของเมมเบรนต่อไอออนชนิดนั้นๆ คือ  $R_{Na}$ ,  $R_K$  และ  $R_{Cl}$  และศักย์ไฟฟ้าที่ทำให้ออกอนเหล่านี้เคลื่อนที่ผ่านเมมเบรนคือศักย์สมดุลของแต่ละไอออน ( $E_{Na}$ ,  $E_K$  และ  $E_{Cl}$ ) โดยศักย์สมดุลนี้ขึ้นอยู่กับความเข้มข้นของไอออนระหว่างภายนอกและภายนอกของเมมเบรนซึ่งเป็นไปตามสมการเนิร์นส์ (Nernst) ( Ronto and Tarjan, 1999)

$$E_i = \frac{-RT}{z_i F} \ln \frac{C_i}{C_o} \quad (2)$$

เมื่อ  $E_i$  = ศักย์สมดุล

$R$  = ค่าคงตัวของแก๊ส =  $8.3143 \text{ J K}^{-1} \text{ mol}^{-1}$

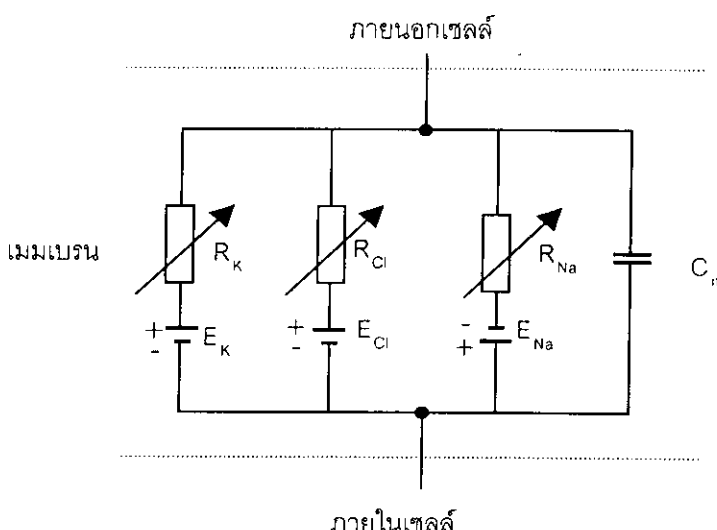
$T$  = อุณหภูมิสัมบูรณ์ (K)

$F$  = ค่าคงตัวฟาราเดีย =  $96,487 \text{ C mol}^{-1}$

$z_i$  = จำนวนประจุของไอออน (จำนวนเท่าของประจุมูลฐาน)

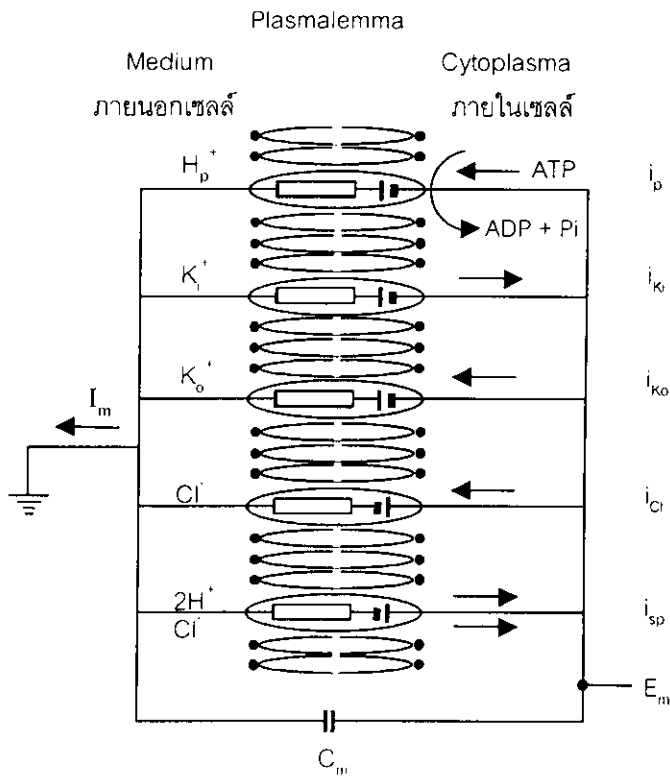
$C_i$  = ความเข้มข้นของไอออนภายนอกเซลล์

$C_o$  = ความเข้มข้นของไอออนภายนอกเซลล์



ภาพประกอบ 7 วงจรไฟฟ้าที่สมมูลกับเมมเบรนของเซลล์ประสาท  
(ปรับปรุงจาก Ronto and Tarjan, 1999)

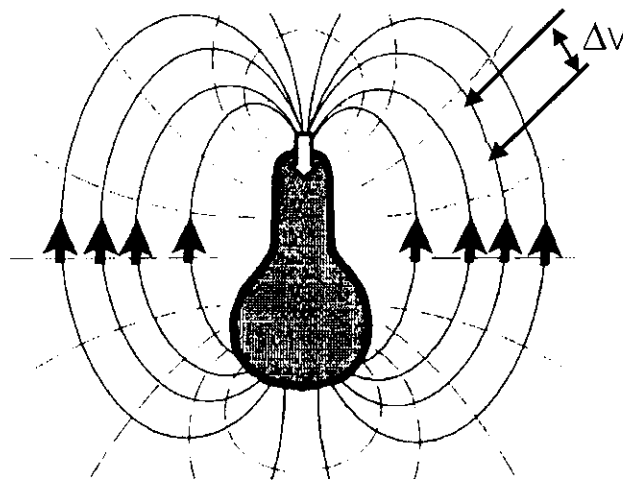
สำหรับวงจรไฟฟ้าที่สมมูลกับเมมเบรนของเซลล์พีชอาจจะแตกต่างกันตามชนิดของพีช แต่วงจรที่เชื่อว่าเป็นวงจรที่ใช้แทนเมมเบรนของพีชแสดงในภาพประกอบ 8 (Buschmann *et al.*, 1996; Gradmann and Hoffstadt, 1998; Gradmann, 2001) โดยในหนึ่งหน่วยวงจรไฟฟ้าประกอบด้วยแซนแนลที่ให้ออนนิเดต่างๆ ผ่านได้ คือ protoon pump ( $H^+$  pump, proton pump) โพแทสเซียมไอโอนแซนแนลขาเข้า ( $K^+$ - inward rectifier) และแซนแนลขาออก ( $K_o^+$ - outward rectifier) แซนแนลขาออกของคลอไรด์ไอโอน ส่วนแซนแนลสูดท้ายคือแซนแนลขาเข้าของ protoon-คลอไรด์ ซิมพอร์เตอร์ ( $2H^+/Cl^- symporter$ ) แซนแนลนี้จะยอมให้คลอไรด์ไอโอนและไฮโดรเจนไอโอนผ่านได้เมื่อมีไอโอนหั้งสองชนิด กล่าวคือต้องมี  $2H^+$  และ  $Cl^-$  จึงจะมีการนำไอโอนหั้งสองชนิดเข้าสู่เซลล์ ลูกศรในภาพประกอบ 8 แสดงทิศการไหลของไอโอน และเนื่องจากกระแสไฟฟ้าพิจารณาจากทิศการไหลของประจุบวก ดังนั้นจากการดังกล่าวจะได้ว่ากระแสไฟฟ้า  $i_p$  จากprotoon pump เนื่องจากการไหลของ  $H^+$  จะมีทิศออกจากเซลล์ กระแสไฟฟ้า  $i_K$  จะเข้าสู่เซลล์ และ  $i_{K_o}$  ออกจากเซลล์ ส่วนกระแสไฟฟ้า  $i_{Cl^-}$  จาก  $Cl^-$  จะมีทิศเข้าสู่เซลล์ และในซิมพอร์เตอร์กระแสไฟฟ้าสุทธิ  $i_{sp}$  จาก  $2H^+/Cl^-$  จะมีทิศเข้าสู่เซลล์ โดยกระแสไฟฟ้าสุทธิ ( $I_m$ ) คือผลรวมของกระแสไฟฟ้าไอโอนหั้งหมดที่กล่าวมาข้างต้น



### ภาพประกอบ 8 วงจรไฟฟ้าที่สมมูลกับเมมเบรนของพืชชนิด Egeria densa

(Bushmann et al., 1996)

งานวิจัยนี้จะวัดกระแสไฟฟ้าสุทธิ ( $I_m$ ) ที่ได้จากการรวมของปัจจอนชนิดต่างๆ โดยวัดในรูปของความต่างศักย์ไฟฟ้าในสารละลายนอกที่มีกระแสไฟฟ้าไหลผ่านโดยระบบไบเบอร์ติงเพรบซึ่งวัดความต่างศักย์ไฟฟ้าในระดับล้านนา โดยใช้เพรบที่สั่นด้วยความถี่ในช่วงเป็นร้อยเอิร์ต ระยะของ การสั่นอยู่ในช่วงไมโครเมตร โดยเพรบจะวัดความต่างศักย์ไฟฟ้าระหว่างจุดสองจุดที่เกิดจากกระแสไฟฟ้าที่ไหลผ่านสารละลายนอกๆ เชลล์ที่มีค่าสภาพด้านทันที  $\rho$  (ภาพประกอบ 9) จากนั้นนำค่าความต่างศักย์ไฟฟ้าที่วัดได้คำนวณเป็นความหนาแน่นกระแส



ภาพประกอบ 9 การวัดความต่างศักย์ไฟฟ้ารอบเซลล์ที่มีกระแสไฟฟ้าในแหล่งผลิตภัยนอก (ปรับปรุงจาก Glaser, 2001)

โดยพิจารณาจากสมการ (Miller et al., 1986)

$$\bar{J} = \frac{\bar{E}}{\rho} \quad (3)$$

โดย

$\bar{J}$  = ความหนาแน่นกระแส (แอมเปอร์ต่อตารางเซนติเมตร)

$\bar{E}$  = สนามไฟฟ้า (โวลต์ต่อเมตร)

$\rho$  = สภาพนำไฟฟ้า (โอห์มเมตร)

หากมีกระแสไฟฟ้าในอนุ  $\bar{J}$  ในแหล่งผลิตภัยจะมีความต่างศักย์ไฟฟ้า  $\Delta V$  เกิดขึ้นระหว่างระยะทาง  $\Delta r$  และจะมีสนามไฟฟ้าตามความสัมพันธ์

$$\bar{E} = \frac{-\Delta V}{\Delta r} \bar{e}_{\bar{E}} \quad (4)$$

ดังนั้น

$$\bar{J} = \frac{-\Delta V}{\rho \Delta r} \bar{e}_{\bar{E}} \quad (5)$$

เมื่อ  $\Delta r$  คือ ระยะทางระหว่างอิเล็กโทรดทั้งสอง และ  $\bar{e}_{\bar{E}}$  เป็นเวกเตอร์หน่วยแสดงทิศของสนามไฟฟ้าที่มีทิศจากศักย์ไฟฟ้ามากไปน้อย

**Central Library  
Prince of Songkla University**

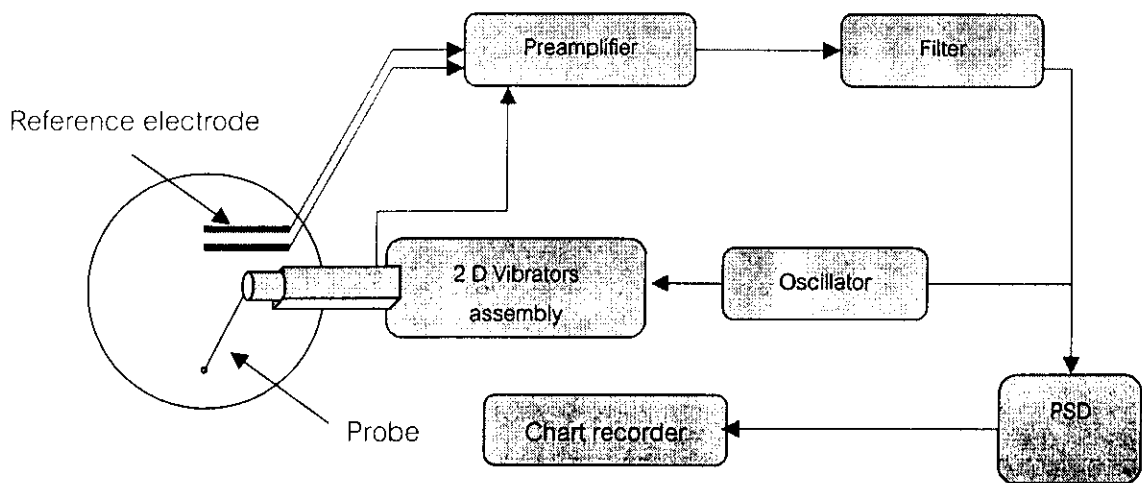
นั่นคือ เมื่อทราบค่าสภาพด้านท่านของสารละลาย  $\rho$  สามารถคำนวณค่าความหนาแน่นกระและค่าความต่างศักย์ไฟฟ้า  $\Delta V$  ที่วัดระหว่างจุดสองจุดที่ห่างกันเป็นระยะ  $\Delta r$  หากระยะ  $\Delta r$  ยิ่งสั้นมากเท่าใด ค่าความหนาแน่นกระและค่าความต่างศักย์ไฟฟ้าที่คำนวณได้มีค่าใกล้เคียงกับค่าจริงมากเท่านั้น แต่ค่า  $\Delta V$  ที่วัดได้จะมีค่าน้อยลงเช่นกัน ดังนั้นระบบที่จะวัดกระและไฟฟ้าที่เกิดขึ้นจะต้องสามารถวัดความต่างศักย์ไฟฟ้าบิริมาณน้อยที่ระยะสั้นๆ ได้ และระบบไวนิเตอร์ติงเพรบได้ถูกพัฒนาขึ้นมาสำหรับวัดความต่างศักย์ไฟฟ้าบิริมาณน้อยนี้ ข้อจำกัดสำคัญของอิเล็กโทรดที่ใช้อยู่เดิม ( $\text{Ag}/\text{AgCl}$ ) คือสัญญาณรบกวน (noise) ของตัวอิเล็กโทรดเองมีค่าสูงกว่าความต่างศักย์ไฟฟ้าที่เกิดจากกระและไฟฟ้าไอกอนบิริมาณน้อย สัญญาณรบกวนดังกล่าวจะถูกกำหนดด้วยความด้านท่านของอิเล็กโทรด ถ้าสามารถลดความด้านท่านของอิเล็กโทรดลงสัญญาณรบกวนจะลดลงด้วยระบบไวนิเตอร์ติงเพรบแก้ปัญหาดังกล่าวโดยการซุบปลายเพรบด้วยสารละลายแพลทินัมคลอไรด์ ทำให้เกิดสารประกอบแพลทินัมแบล็ค (platinum black) ที่มีรูพรุน ซึ่งเป็นการเพิ่มพื้นที่ผิวของเพรบทำให้ความด้านท่านของเพรบลดลงสัญญาณรบกวนจึงลดลงด้วย (Jaffe and Nuccitelli, 1974) ระบบไวนิเตอร์ติงเพรบนี้สามารถวัดความต่างศักย์ไฟฟ้าได้ถึงระดับนาโนโวลต์ ซึ่งมีความแตกต่างจากอิเล็กโทรดที่ทำจากเงิน/เงินคลอไรด์ที่มีขีดจำกัดของความต่างศักย์ที่วัดได้อยู่ในระดับไมโครโวลต์ (Nuccitelli, 1983)

### 2.2.1 หลักการทำงานของระบบไวนิเตอร์ติงเพรบ

ระบบไวนิเตอร์ติงเพรบเป็นระบบที่ใช้ศึกษากระและไฟฟ้าไอกอนที่เกิดขึ้นในระดับของเซลล์และօอร์แกนิซึม โดยที่ระบบนี้สามารถวัดกระและไฟฟ้าไอกอนบิริมาณน้อยในระดับไมโครแอมเปอร์ต่อตารางเซนติเมตรได้โดยไม่มีการทำลายเซลล์ที่ต้องการศึกษา เนื่องจากระบบดังกล่าวจะวัดการเปลี่ยนแปลงของกระและไฟฟ้ารอบๆ เซลล์ในรูปของความต่างศักย์ไฟฟ้า ระบบไวนิเตอร์ติงเพรบประกอบด้วยส่วนต่างๆ ดังแสดงในภาพประกอบ 10

ในงานวิจัยนี้ศึกษากระและไฟฟ้าไอกอนในชีวภาพงานตะวันโดยใช้ระบบไวนิเตอร์ติงเพรบ 2 มิติ นั่นคือระบบนี้สามารถวัดกระและไฟฟ้าไอกอนที่เกิดขึ้นในแนวแกน x และแนวแกน y ได้พร้อมกัน โดยในแต่ละแนวแกนจะวัดในรูปของความต่างศักย์ไฟฟ้าระหว่างจุดสองจุดในสารละลายโดยใช้เพรบอันเดียวกันซึ่งสั่นกลับไปกลับมาระหว่างจุดสองจุดนี้ การสั่นดังกล่าวเกิดจากการจ่ายสัญญาณรูปضايان์จากอุปกรณ์ชิลเลเตอร์ให้เกิดการสั่นของไวนิเตอร์แอสเซมบลี (vibrator assembly) ความถี่และระยะทางของการสั่นของเพรบสามารถกำหนดได้จากการปรับความถี่ (frequency) และแอมเพลจิตูด (amplitude) ของอุปกรณ์ชิลเลเตอร์

ในการวัดกระแสไฟฟ้าจะให้ probation ลับไปกลับมาในระยะเวลาประมาณ 20-30 ไมโครเมตร โดยมีความถี่ของการสั่นทั้งสองแกนอยู่ในช่วง 250 – 500 เฮิรตซ์ สัญญาณที่วัดได้จาก probation จะมีลักษณะเป็นสัญญาณรูปซ้ายน์ที่มีความถี่เดียวกับความถี่การสั่นของ probation สัญญาณนี้จะถูกขยายและกรองสัญญาณก่อนผ่านマイค์ PSD (phase sensitive detectors) พร้อมกับสัญญาณอ้างอิงจากอุปกรณ์ PSD จะแสดงสัญญาณที่วัดได้จาก probation ค่าที่วัดได้จะมากหรือน้อยขึ้นกับการปรับเฟส (phase) ของสัญญาณ ระหว่างสัญญาณขยายที่วัดได้กับสัญญาณขยายจากอุปกรณ์ เมื่อปรับสัญญาณที่วัดได้และสัญญาณอ้างอิงให้มีเฟสเดียวกัน (inphase) จะได้สัญญาณที่มีค่าสูงสุด นอกจากนี้ PSD ยังสามารถแสดงสัญญาณที่มีเฟสต่างจากสัญญาณที่วัดได้ 90 องศา เรียกว่าสัญญาณนี้ว่า สัญญาณควอเตอร์เชอร์ (quadrature) สัญญาณนี้จะเป็นตัวบ่งชี้ว่าสัญญาณที่วัดได้เป็นสัญญาณที่ได้จากการวัดกระแสไฟฟ้าโดยอนหือไม่ โดยอาศัยหลักการที่ว่าหากปรับเฟสของสัญญาณอินเฟสได้ถูกต้องแล้วสัญญาณควอเตอร์เชอร์จะมีค่าเป็นศูนย์ตลอดเวลา หากสัญญาณนี้มีการเปลี่ยนแปลงมากกว่า 10% ของสัญญาณอินเฟส แสดงว่าสัญญาณที่วัดได้ไม่ได้เกิดจากกระแสไฟฟ้าโดยอนหือแต่เกิดจากสาเหตุอื่น เช่น การชนของ probation กับผิวของเหล็ก หรือชนสารเคมีในสารละลาย เป็นต้น สัญญาณที่ผ่าน PSD ออกมามากจะเปลี่ยนจากสัญญาณขยายเป็นสัญญาณกราฟฟิกโดยจะถูกเขียนด้วยค่าคงตัว 3 วินาที สัญญาณที่ออกมานี้จะถูกบันทึกด้วยเครื่องบันทึกสัญญาณ (chart recorder)



ภาพประกอบ 10 ระบบไวเบรตติ้งเพรบ

### 2.3 การเตรียมสารละลายน้ำ的人工湖水 (APW)

#### 2.3.1 การเตรียมสารละลายน้ำ APW pH 6.0

สารละลายน้ำ APW ที่ใช้ในการศึกษากระเพาะไฟฟ้าในอนุไขน้ำจากและรอบๆ โคนของขันราก ประกอบด้วยโซเดียมคลอไรด์ 1.0 มิลลิโมลาร์ โพแทสเซียมคลอไรด์ 0.1 มิลลิโมลาร์ แคลเซียมคลอไรด์ 0.1 มิลลิโมลาร์ และ MES (2-Morpholinoethansulfonic acid Monohydrate) 1.0 มิลลิโมลาร์ การปรับ pH ของสารละลายน้ำใช้ Tris (Tris – hydroxymethyl aminomethane) ความเข้มข้น 10.5 และ 1% (น้ำหนักต่อปริมาตร) ตามลำดับ หยดลงในสารละลายน้ำทั้งสารละลายน้ำ APW มี pH  $6.00 \pm 0.05$  (Meyer และ Weisenseel, 1997) โดยสารละลายน้ำดังกล่าวมีค่าสภาพนำไฟฟ้า  $182 \pm 10$  (ไมโครโอม-เซนติเมตร)<sup>-1</sup> มีสภาพด้านท่าน ( $5.5 \pm 0.3$ )  $\times 10^3$  โอม-เซนติเมตร สารละลายน้ำที่ใช้ในการเพาะเมล็ด เลี้ยงต้นกล้าและขันราก ตลอดจนศึกษากระเพาะไฟฟ้าในอนุไขน้ำจากและโซนของขันรากในสภาพปปกติ

### 2.3.2 การเตรียมสารละลายน้ำ APW pH 4.00 และ pH 8.00

การศึกษาผลของค่า pH ของสารละลายน้ำต่อการเกิดกราฟไฟฟ้าไอออนในขันรากและกลุ่มของขันรากใช้ APW pH  $4.00 \pm 0.05$  และ  $8.00 \pm 0.05$  ศึกษาเปรียบเทียบกับกราฟไฟฟ้าที่เกิดขึ้นใน APW pH 6.00 สารละลายน้ำที่มี pH ต่างกันนี้ยังคงมีส่วนประกอบของ โซเดียม คลอไรด์ โพแทสเซียมคลอไรด์ แคลเซียมคลอไรด์ ที่มีความเข้มข้นของสาร เช่นเดียวกับข้อ 2.3.1 แต่การปรับ pH ของสารละลายน้ำ APW pH 4.00 ใช้ MES 1.0 มิลลิโมลาร์ และใช้ Tris 5% (น้ำหนักต่อปริมาตร) สารละลายน้ำดังกล่าวมีค่าสภาพนำไฟฟ้าสารละลายน้ำ  $177 \pm 6$  (ไมโครโอม-เซนติเมตร)<sup>-1</sup> และสภาพต้านทาน ( $5.6 \pm 0.2$ )  $\times 10^3$  โอห์ม-เซนติเมตร ในกรณีของ 8.00  $\pm 0.05$  ใช้ MES 10.0 มิลลิโมลาร์ Tris 5 และ 1% (น้ำหนักต่อปริมาตร) เพื่อปรับความสมดุลของกรด เบสให้อยู่ในภาวะสมดุลไม่ให้มีการเปลี่ยนแปลง pH ของสารละลายน้ำ APW ค่าสภาพนำไฟฟ้าของสารละลายน้ำ  $167 \pm 9$  (ไมโครโอม-เซนติเมตร)<sup>-1</sup> และสภาพต้านทาน ( $6.0 \pm 0.3$ )  $\times 10^3$  โอห์ม-เซนติเมตร

### 2.3.3 การเตรียมสารละลายน้ำเพื่อศึกษาผลของไอออน

สารละลายน้ำ APW ประกอบด้วยไอออนสี่ชนิดด้วยกัน คือ แคลเซียม ( $Ca^{2+}$ ) โซเดียม ( $Na^+$ ) โพแทสเซียม ( $K^+$ ) และคลอไรด์ ( $Cl^-$ ) ไอออนเหล่านี้เป็นส่วนสำคัญในการเกิดกราฟไฟฟ้าไอออนในพืช ในงานวิจัยนี้ไอออนที่สนใจได้แก่  $Ca^{2+}$   $K^+$  และ  $Cl^-$  เนื่องจากไอออนเหล่านี้เป็นไอออนที่มีผลต่อกราฟไฟฟ้าในขันราก เช่น ในข้าวบาร์เลีย พบร่วมกับความเข้มข้นของ  $Ca^{2+}$  เพิ่มขึ้นกราฟไฟฟ้ามีทิศเข้าสู่ปลายของขันรากมีขนาดเพิ่มขึ้น ส่วนความเข้มข้นของ  $K^+$  และ  $Cl^-$  ไม่มีผลต่อกราฟไฟฟ้าที่เกิดขึ้นในขันราก (Weisenseel et al., 1979) แต่ในขันรากข้าวสาลี *Triticum aestivum L.* (Gassmann and Schroeder, 1994) พบร่วมกับกราฟไฟฟ้ามีทิศเข้าสู่ปลายของขันรากปริมาณสูงเนื่องจากการเคลื่อนที่เข้าของ  $K^+$  สูงมาก

ในการศึกษาผลของไอออนต่อการเกิดกราฟไฟฟ้าในขันรากใช้วิธีที่ต่างกัน สองวิธี คือ ในกรณีที่ศึกษาผลของ  $Ca^{2+}$  และ  $K^+$  ใช้สารละลายน้ำที่มีไอออนบวกคือ  $Ca^{2+}$  หรือ  $K^+$  เพียงอย่างเดียวโดยรักษาความเข้มข้นของไอออนในสารละลายน้ำและค่า pH ให้คงเดิม (ตารางที่ 1) ในกรณีนี้เพื่อศึกษาว่าหากความเข้มข้นของ  $Ca^{2+}$  และ  $K^+$  เพิ่มขึ้นจะมีผลอย่างไร ส่วนในกรณีของ  $Cl^-$  ใช้วิธีการแทนที่ไอออน (ion substitution) (Miller, 1989; Troxell, 1989) โดยใช้โซเดียมซัลเฟตแทนโซเดียมคลอไรด์ โพแทสเซียมซัลเฟตแทนโพแทสเซียมคลอไรด์และแคลเซียมซัลเฟตแทนแคลเซียมคลอไรด์ (Miller, 1989) (ตารางที่ 1) โดยให้ไอออนหลักมีความเข้มข้นและจำนวนประจุ

เท่ากับสารละลายน้ำ APW pH 6.0 กรณีนี้ดูว่าเมื่อมีคลอไรด์จะมีผลอย่างไรต่อกระแทกไฟฟ้าในขันราก

#### 2.3.4 การเตรียมสารละลายน้ำ APW ที่มีอัลูมิเนียม 0.1 มิลลิโมลาร์ pH 4.00 ± 0.05

อัลูมิเนียมเป็นธาตุชนิดหนึ่งที่มีมากในธรรมชาติ โดยอัลูมิเนียมจะแตกตัวเป็นไอออนได้ดีที่ pH ต่ำๆ และเป็นพิษต่อพืชหลายชนิดเมื่อออยู่ในดินที่มีสภาพเป็นกรด ซึ่งอัลูมิเนียมในรูปของ  $Al^{3+}$  จะมีผลต่อเนื้อเยื่อเจริญของพืช โดยเฉพาะเซลล์บริเวณปลายราก และรากแข็ง โดยจะส่งผลกระทบต่อการแบ่งตัวของเซลล์บริเวณนั้น ทำให้เกิดการเปลี่ยนแปลงของกำลังเลี้ยงธาตุที่จำเป็นบางชนิด ทำให้เกิดการยับยั้งการเคลื่อนที่ของไอออน โดยเฉพาะการล้ำเลี้ยง  $Ca^{2+}$  และ  $Mg^{2+}$  เข้าสู่เซลล์ (Rout et al., 2001) ในขณะที่  $Al^{3+}$  มีผลต่อแซนแนลการแลกเปลี่ยน  $K^+$  ในขันรากข้าวสาลี โดยยับยั้งการเคลื่อนที่เข้าของ  $K^+$  (Gassmann and Schroeder, 1994) นอกจากนี้แล้วอัลูมิเนียมจะทำให้เกิดการหลอกของไอออนลงมากขึ้นในรากข้าวสาลี (Ryan et al., 1997)

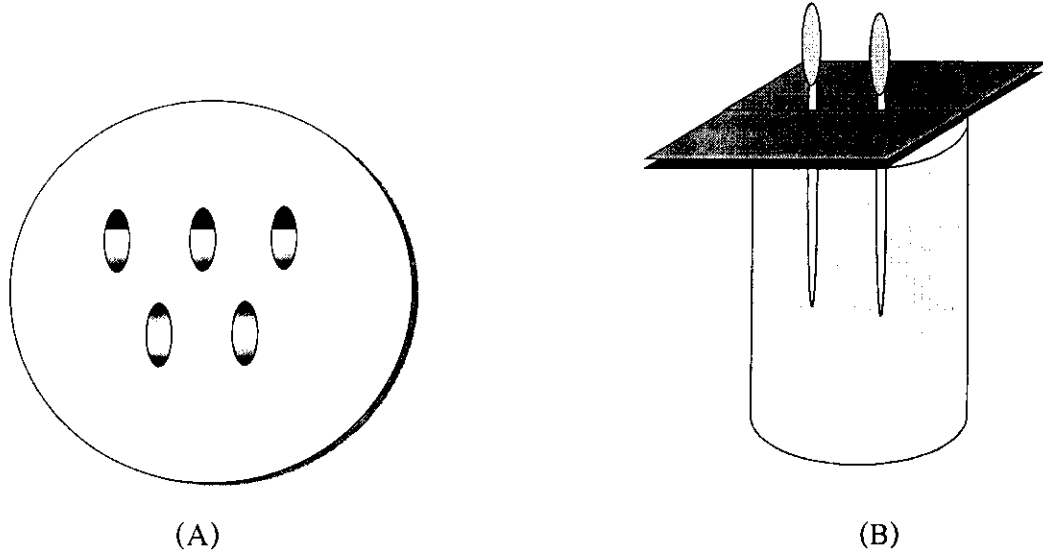
สำหรับการเตรียมสารละลายน้ำ APW pH 4.00 ± 0.05 เนื่องจากอัลูมิเนียมสามารถละลายได้ดีในสภาพที่เป็นกรด (Kinraide, 1991) การเตรียม APW pH 4.00 ± 0.05 เตรียมเช่นเดียวกับหัวข้อ 2.3.2 และเติมอัลูมิเนียมความเข้มข้น 0.10 มิลลิโมลาร์

ตารางที่ 1 สรุปประกอบของสารเคมีในการเตรียมสารละลายน้ำเพื่อศึกษาผลของไอออน

สารเคมี	ความเข้มข้นของสารละลายน้ำ (มิลลิโมลาร์)				
	APW ปกติ	สารละลายน้ำ $CaCl_2$	สารละลายน้ำ KCl	สารละลายน้ำที่ไม่มี Cl <sup>-</sup>	APW pH 4.00 เติม $AlCl_3$
โซเดียมคลอไรด์	1.0	-	-	-	1.0
โพแทสเซียมคลอไรด์	0.1	-	1.3	-	0.1
แคลเซียมคลอไรด์	0.1	0.65	-	-	0.1
MES	1.0	1.0	1.0	1.0	1.0
โซเดียมซัลเฟต	-	-	-	0.5	-
โพแทสเซียมซัลเฟต	-	-	-	0.05	-
แคลเซียมซัลเฟต	-	-	-	0.1	-
อัลูมิเนียมคลอไรด์	-	-	-	-	0.1
ปรับ pH 6.00 ± 0.05 ด้วย Tris 10.5 และ 1% (น้ำหนักต่อปริมาตร) ตามลำดับ					

## 2.4 การเพาะเมล็ดท่านตะวัน

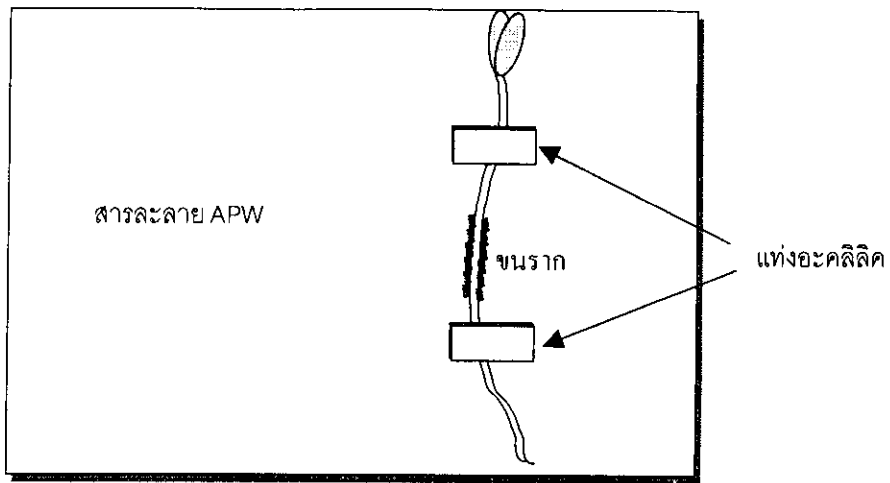
นำเมล็ดท่านตะวัน (แปซิฟิก – 33) จำนวน 10 เมล็ดต่อการเพาะเมล็ดต่อนหนึ่งครั้ง มาพอกจากเชื้อที่ผิวด้วยไฮเตอร์ชีมีโซเดียมไฮโปคลอไรต์ (sodium hypochlorite) 6 % (น้ำหนักโดยน้ำหนัก) โดยแช่ทิ้งไว้เป็นเวลา 10 นาที หลังจากนั้นล้างด้วยน้ำสะอาด 2 – 3 ครั้งและแช่ทิ้งไว้ในน้ำเป็นเวลา 10 นาที ก่อนจะนำมาเพาะในจานเพาะเชือที่มีขนาดเส้นผ่าศูนย์กลาง  $10.00 \pm 0.05$  เซนติเมตร สูง  $1.00 \pm 0.05$  เซนติเมตร ภายในจะบรรจุด้วยกระดาษทิชชูที่ซุ่มไปด้วยสารละลาย APW pH 6.0 เรียงเมล็ดตั้งแต่งในภาชนะกอน 11A ปิดทับด้วยกระดาษทิชชูที่ซุ่มด้วย APW อีกหนึ่งชั้นเพื่อให้ความชื้นแก่เมล็ดและยึดเมล็ดไม่ให้เกิดการเคลื่อนที่ นำไปวางในตู้มีดีที่มีอุณหภูมิภายในตู้  $25 \pm 2$  องศาเซลเซียส โดยวางในแนวตั้งเพื่อให้รากเมล็ดท่านตะวันออกในทิศทางเดียวกับทิศทางแรงโน้มถ่วงของโลก ทิ้งไว้ 2 วัน จะได้ต้นกล้าที่มีรากยาวประมาณ  $2.00 - 3.00$  เซนติเมตร จากนั้นนำต้นกล้าที่ได้มาทำการทดสอบส่วนที่เป็นรากโดยใช้เดบฯ ฯ ด้วยทิชชูที่ซุ่มด้วยน้ำเพื่อเอาทิชชูที่ติดกับส่วนรากออกก่อนนำมาเลี้ยงบนราก โดยนำต้นกล้าที่มีความยาวรากดังกล่าว มาตรึงในแนวตั้งโดยใช้แผ่นอะคลีลิค ขนาด  $2.50 \times 4.00 \times 0.20$  เซนติเมตร (กว้าง  $\times$  ยาว  $\times$  тол) สองอันประกอบกัน (ภาชนะกอน 11B) โดยให้รากแข็งอยู่ในสารละลาย APW pH 6.0 หลังจากนั้นนำไปวางในตู้มีดีเป็นเวลา 15-17 ชั่วโมง รากจะยาวเพิ่มขึ้นประมาณ 50 เปอร์เซ็นต์ ให้เช่นเดียวกับรากจะอุดจากส่วนที่เป็นลำต้นประมาณ 1.5 เซนติเมตร บนรากที่มีความยาวอยู่ในช่วง  $500 - 800$  ไมโครเมตร



ภาพประกอบ 11 ขั้นตอนการเตรียมตัวอย่าง (A) การวางแผนในงานเพาะเชื้อ<sup>1</sup>  
(B) การเพาะเลี้ยงต้นกล้าในสารละลายน้ำ APW pH 6.00 ± 0.05

## 2.5 การเตรียมตัวอย่างสำหรับวัดกระแสงไฟฟ้าไออกอน

นำต้นกล้าที่เพาะเลี้ยงได้ในหัวข้อ 2.4 มาวางในภาชนะสีเหลี่ยมขนาด  $6.9 \times 9.3 \times 1.0$  ลูกบาศก์เซนติเมตร (กว้าง  $\times$  ยาว  $\times$  สูง) ตั่งตัวอย่างให้อยู่กับที่ด้วยอะคลีลิกที่ยึดติดกับภาชนะด้วยชิลลิโคนกรีซ โดยยึดส่วนที่เป็นลำต้นต้นของต้นกล้าที่อยู่เหนือบัวไวนิลากและส่วนที่เป็นรากที่อยู่ใต้บัวไวนิล (ภาพประกอบ 12) จากนั้นล้างต้นกล้าด้วยสารละลายที่ใช้เป็นสารละลายน้ำออกซิเจนที่ต้องการศึกษากระแสงไฟฟ้าไออกอน 2 ครั้งโดยเติมสารละลายที่ต้องการศึกษากระแสงไฟฟ้าไออกอนด้วยปริมาตร 45 มิลลิลิตร หลังจากนั้นดูดสารละลายน้ำออก เพื่อล้างเอาสารละลายน้ำออกซิเจนที่อาจจะติดมากับต้นกล้าในขณะเพาะเลี้ยงออก และจึงเติมสารละลายที่ต้องการศึกษาปริมาตร 45 มิลลิลิตร จนท่วมต้นกล้า จากนั้นจึงเริ่มกระบวนการวัดกระแสงไฟฟ้า



ภาพประกอบ 12 ตัวกล้าท่านตะวันที่ถูกตีริงไว้ในภาชนะสำหรับวัดกระแสไฟฟ้าไอออน

## 2.6 การเตรียมไฟฟ้าสำหรับวัดกระแสไฟฟ้าไอออน

ไฟฟ้าประจุบวกและไฟฟ้าประจุลบที่ใช้ทำด้วยสเตนเลสและมีขั้วน้ำไฟฟ้าหุ้มตลอดความยาวของไฟฟ้า (8 เซนติเมตร) ยกเว้นส่วนที่เป็นปลายแหลมซึ่งมีความยาว 5 มิลิเมตร ตัดไฟฟ้าให้เหลือความยาวเพียง 1.5 – 1.7 เซนติเมตร และนำไปต่อเข้ากับไบรอเตอร์แอดแซมบลี (ภาพประกอบ 13A) ในการชูปไฟฟ้าประจุบวกด้วยการชูปด้วยทองและชูปด้วยสารละลายน้ำฟลูอิเดียมคลอไรด์ (platinum chloride) โดยเริ่มจากการล้างไฟฟ้าด้วยอะซิตอโนนเพื่อกำจัดไขมันและสิ่งสกปรก (ภาพประกอบ 13B) จากนั้นชูปด้วยสารละลายน้ำฟลูอิเดียม 0.2% (น้ำหนักโดยปริมาตร) โดยผ่านกระแสไฟฟ้า -0.10 มิลลิแอมเปอร์เป็นเวลา 5 นาที (ภาพประกอบ 13B) ต่อจากนั้นผ่านกระแสไฟฟ้า -0.20 มิลลิแอมเปอร์เป็นเวลา 3 นาที (ภาพประกอบ 13C) เมื่อส่องดูปลายน้ำไฟฟ้าประจุบวกจะออกลักษณะเป็นร่องๆ บนกรอบอินเจอร์ท จะเห็นทรงกลมของขนาดเส้นผ่านศูนย์กลางประมาณ 10 มิลิเมตร หลังจากนั้นนำมาชูปด้วยสารละลายน้ำฟลูอิเดียมคลอไรด์ในสารละลายน้ำฟลูอิเดียม 0.01% (น้ำหนักต่อปริมาตร) และแพลทินัมคลอไรด์ 1.0% (น้ำหนักต่อปริมาตร) โดยผ่านกระแสไฟฟ้า -0.40 มิลลิแอมเปอร์ เป็นเวลา 5 นาที และผ่านกระแสไฟฟ้า -0.60 มิลลิแอมเปอร์ เป็นเวลา 3 นาที (ภาพประกอบ 13D) ขั้นสุดท้ายผ่านกระแสไฟฟ้าขนาด 1.0 มิลลิแอมเปอร์ เป็นช่วงสั้นๆ ครั้งละ 0.5 วินาที ประมาณ 10 ครั้ง (ภาพประกอบ 13E) หลังจากนั้นทำการทดสอบค่าความฉุกเฉียบโดยใช้ระบบตรวจสอบในชุดอุปกรณ์ไบรอเตอร์ไฟฟ้า ค่าความฉุกเฉียบต้องไม่น้อยกว่า 2 นาโนพาราด ถ้าค่าความฉุกเฉียบพื้นที่ผิวจะมากด้วย ซึ่งหมายความว่าอิมพีเดนซ์ (impedance) ของไฟฟ้าจะน้อยอย่างสัญญาณรบกวนจากไฟฟ้าซึ่งแบ่งผ่านตรงกับอิมพีเดนซ์จะน้อยตามไปด้วยไฟฟ้าจึงสามารถใช้ได้

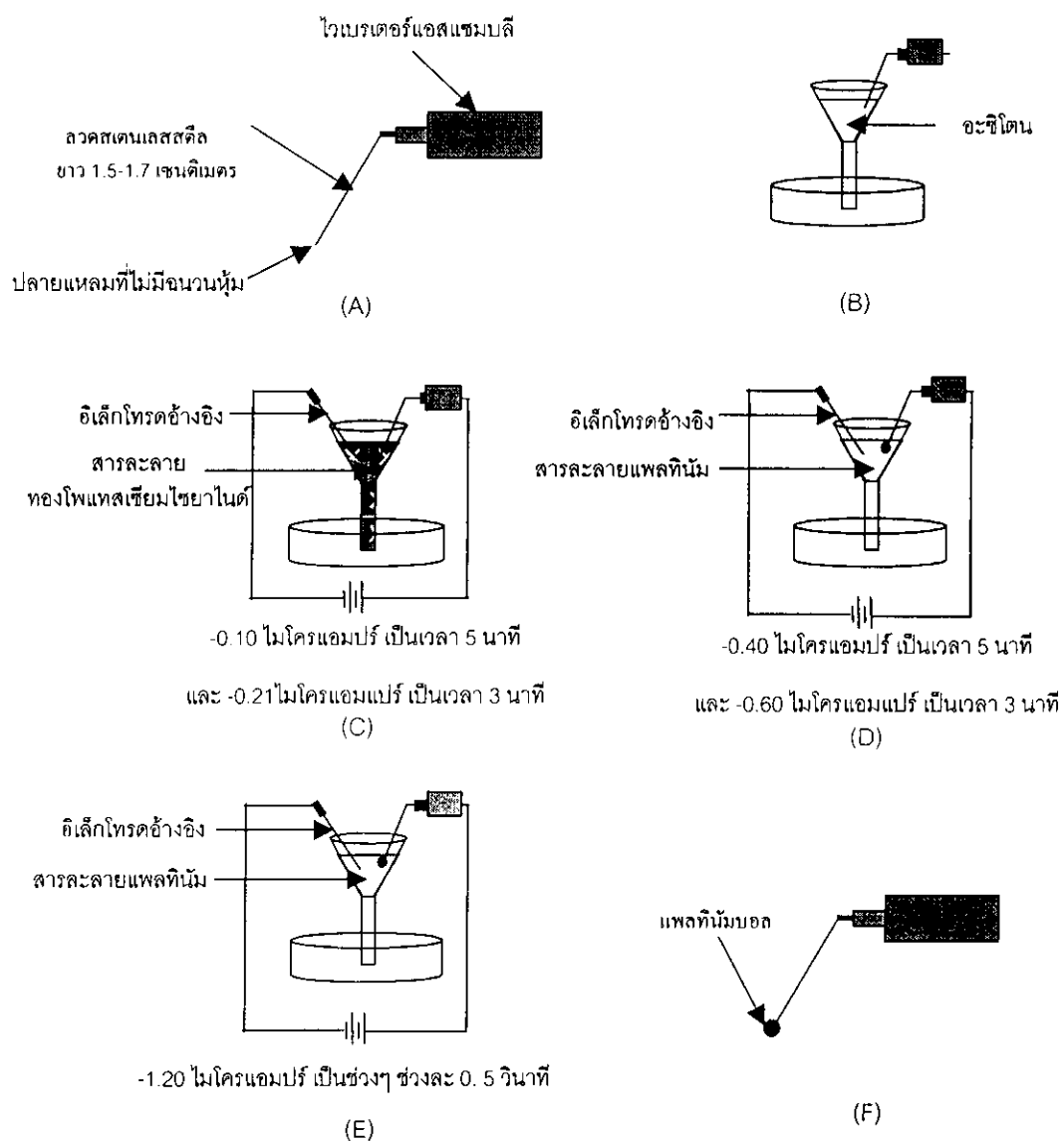
เมื่อครบชั้นตอนดังกล่าวจะได้ปลายเพรบมีลักษณะเป็นทรงกลมมีเส้นผ่านศูนย์กลางประมาณ 20 มิลลิเมตร (ภาพประกอบ 13F)

## 2.7 การเตรียมไมโครอิเล็กโทรดปรับเทียบ

ในการศึกษากระแสไฟฟ้าไออกอนด้วยไบรอติงเพรบ ก่อนที่จะทำการทดลองวัดกระแสไฟฟ้าไออกอนทุกครั้งจะต้องปรับเทียบเพรบเพื่อใช้ในการพิจารณาทิศทางของกระแสไฟฟ้าและคำนวณขนาดของกระแสไฟฟ้าจากความต่างศักย์ไฟฟ้าที่วัดได้จากราก การปรับเทียบทำโดยจ่ายกระแสไฟฟ้าที่ทราบค่าผ่านไมโครอิเล็กโทรดปรับเทียบแล้ววัดค่าความต่างศักย์ไฟฟ้าที่เกิดจากกระแสไฟฟ้านั้น ซึ่งไมโครอิเล็กโทรดที่ใช้จ่ายกระแสไฟฟ้าที่รู้ค่านี้ทำจากเงิน/เงินคลอริด ออยู่ในหลอดแก้วภาปีลารีปลายแหลมที่มีสารละลายโพแทสเซียมคลอไรด์ 3 มิลลาร์ (ภาพประกอบ 14) โดยมีขั้นตอนการเตรียมดังนี้

### 2.7.1 การเตรียมລວດເຈີນ

ใช้วัดเงินที่มีเทफлонหุ้มเส้นผ่านศูนย์กลาง  $0.30 \pm 0.05$  มิลลิเมตร ยาว  $10.00 \pm 0.05$  เซนติเมตร ลอกเทฟلونออกจากปลายด้านหนึ่งยาว  $3.00 \pm 0.05$  เซนติเมตร ลวดที่ลอกเทฟлонออกจะมีเส้นผ่านศูนย์กลาง  $0.25 \pm 0.05$  มิลลิเมตร ขัดส่วนที่ลอกเทฟлонออกด้วยกระดาษทรายและทำความสะอาดด้วยอะโซซิโนนเพื่อกำจัดสิ่งสกปรกและไขมันออกก่อนที่จะนำไปชุบชั้นของเงินคลอริดบนผิวของລວດເຈີນ ชุบລວດເຈີນ 5 เส้นพร้อมๆ กันในสารละลายกรดไฮโดรคลอริก  $0.1$  มิลลาร์ ในชุดอุปกรณ์ดังแสดงในภาพประกอบ 15 โดยผ่านกระแสไฟฟ้า  $1.0$  มิลลิแอมเปอร์ เป็นเวลา  $2$  ชั่วโมงและหยุดจ่ายกระแสไฟฟ้าเป็นเวลา  $30$  นาทีเพื่อให้การเกาะจับของชั้นเงินคลอริดเข้าสู่ภาวะสมดุล แล้วผ่านกระแสไฟฟ้าอีก  $2$  ชั่วโมง จากนั้นนำລວດເຈີນ/เงินคลอริดที่ได้มาแช่ในสารละลายกรดไฮโดรคลอริก  $0.01$  มิลลาร์ เป็นเวลา  $24$  ชั่วโมงเพื่อปรับสภาพสมดุลของชั้นเงินคลอริดที่เคลือบบนผิวของລວດເຈີນ

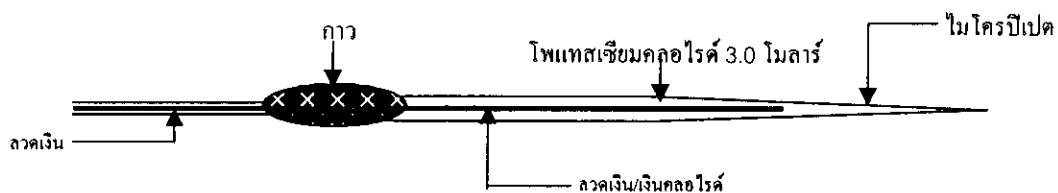


ກາພປະກອບ 13 ຂັ້ນຕອນກາຮູບພວບທີ່ວັດກະຮະແສໄຟຟ້າໄອອຸນ (ຈຸ່າພ້າກຽນ ມ່ວງດີໍຈູ້, 2544)

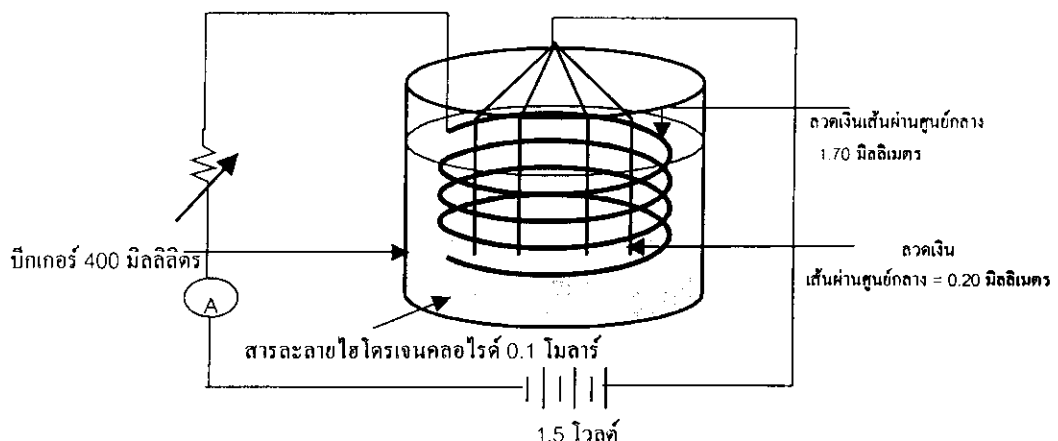
- (A) ລັກຜະນະຂອງພວບກ່ອນຝ່າຍັນຕອນຫຼຸບເນື່ອມອງທາງດ້ານຫ້າງ
- (B) ຄວາມສະອາດພວບດ້ວຍອະຫິດນີ້
- (C) ຂັ້ນຕອນກາຮູບພວບດ້ວຍສາຮະລາຍທອງໂພແກສເຫັນໄຫຍາໃນດີ
- (D) ແລະ (E) ຫຼຸບດ້ວຍສາຮະລາຍແພດທິນັນຄລອໄວຣົດ
- (F) ລັກຜະນະຂອງພວບທີ່ຝ່າຍັນກາຮູບ

### 2.7.2 การเตรียมอิเล็กโทรดปลายแหลม

นำค่าปีลารีแก้วปลายแหลมยาว  $5.00 \pm 0.05$  เซนติเมตรมาตั้งในสารละลายน้ำที่อุ่น ( $37^\circ\text{C}$ ) ให้สารละลายน้ำที่อุ่น ( $37^\circ\text{C}$ ) ทึบหลอดค่าปีลารีปลายแหลมที่มีสารละลายน้ำที่อุ่น ( $37^\circ\text{C}$ ) ใส่ในค่าปีลารีที่เตรียมได้ จากนั้นปิดด้วยกาวเพื่อป้องกันไม่ให้สารละลายน้ำที่อุ่น ( $37^\circ\text{C}$ ) หลุดออกมายังภายนอก

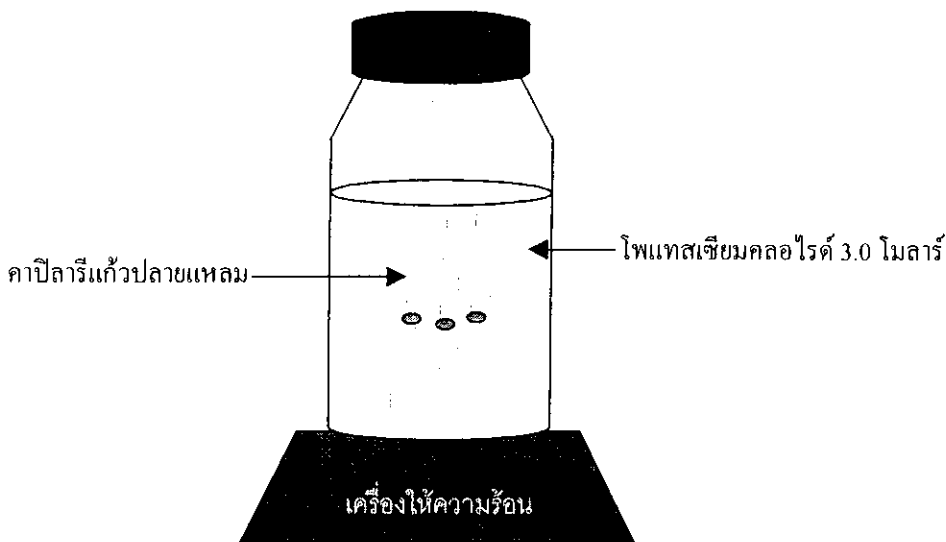


ภาพประกอบ 14 ไมโครอิเล็กโทรดสำหรับปรับเทียบ (จุฬาภรณ์ ม่วงดิษฐ์, 2544)



ภาพประกอบ 15 การจัดชุดอุปกรณ์สำหรับซุบไมโครอิเล็กโทรด

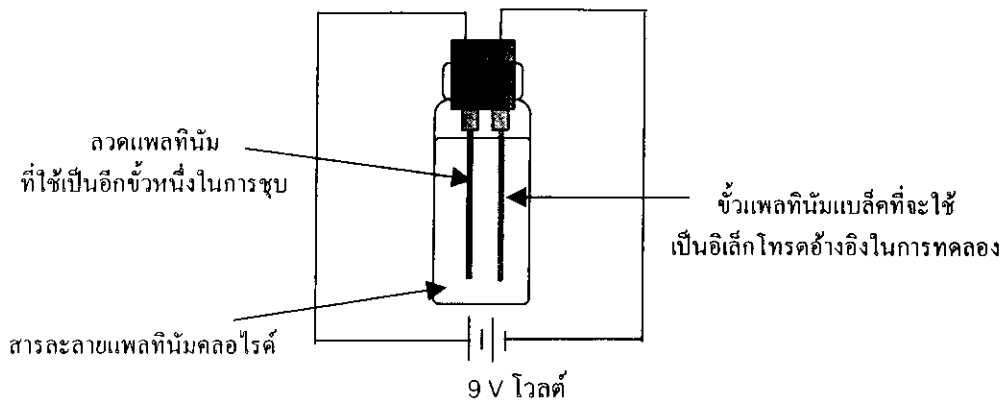
(จุฬาภรณ์ ม่วงดิษฐ์, 2544)



ภาพประกอบ 16 การเตรียมไมโครอิเล็กโทรดปลายแหลมโดยต้มในสารละลาย  
โพแทสเซียมคลอไรด์ (จุฬาภรณ์, 2544)

## 2.8 การเตรียมอิเล็กโทรดอ้างอิง

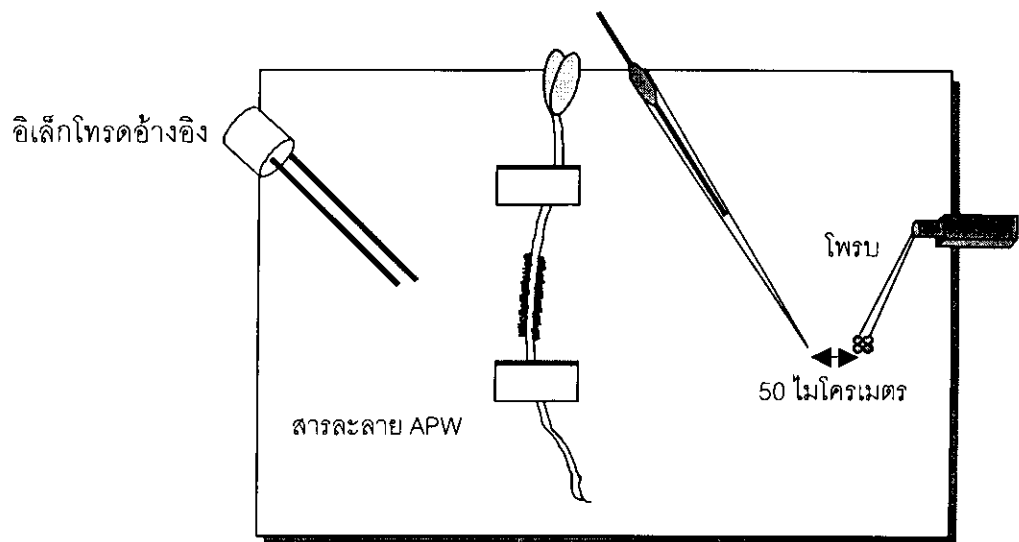
ใช้วัดแพลทินัมเส้นผ่านศูนย์กลาง  $0.40 \pm 0.05$  มิลลิเมตร 3 เส้นยาวเส้นละ  $4.00 \pm 0.05$  เซนติเมตร ทำความสะอาดด้วยอะซิโตน และชุบในสารละลายแพทินัมคลอไรด์โดยใช้วัดแพทินัมเป็นข้าไฟฟ้านั่งเส้น อีกสองเส้นชุบด้วยสารละลายแพลทินัมคลอไรด์โดยทำการชุบครั้งละเส้นโดยให้ความต่างศักย์ไฟฟ้า 9 โวลต์ เป็นเวลา 10 วินาที โดยเส้นที่ชุบเป็นข้าลับ (ภาพประกอบ 17) จะได้วัดแพลทินัมแบบล็อกจำนวนสองเส้นสำหรับใช้เป็นอิเล็กโทรดอ้างอิง



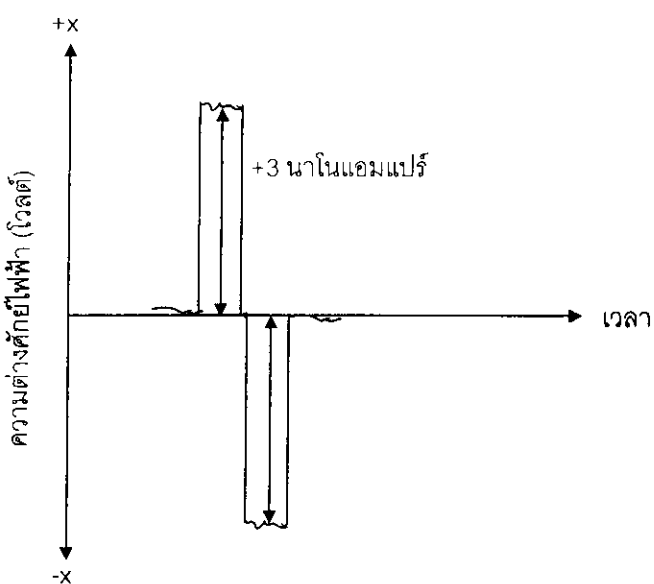
ภาพประกอบ 17 การเตรียมอิเล็กโทรดอ้างอิง (จุฬาภรณ์ ม่วงดิษฐ์, 2544)

## 2.9 การปรับเทียบไฟrob

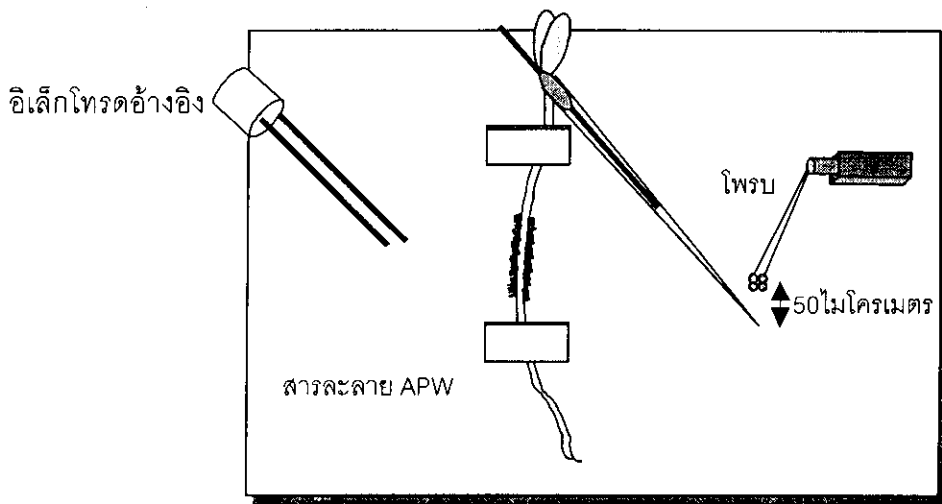
ก่อนจะทำการวัดกระแสไฟฟ้าไอออนในขันรากและในรากทันตะวัน จะต้องทำการปรับเทียบก่อนโดยการวัดสัญญาณความต่างศักย์ไฟฟ้าจากกระแสไฟฟ้าที่ทราบค่า ใน การวัดกระแสไฟฟ้าใช้ระบบไวนเบรติงไฟrob ที่สั่นได้ในสองแนวแกนพร้อมกัน คือ แนวแกน x และแนวแกน y โดยทำการปรับเทียบที่ลະแนวแกน การปรับเทียบจะปรับเทียบแนวแกนใดก่อนก็ได้ การปรับเทียบไฟrob ทำสองครั้งคือ ก่อนจะการวัดกระแสไฟฟ้าไอออนที่ปลายของขันรากและก่อนที่จะวัดกระแสไฟฟ้าที่โคนของขันราก สำหรับการปรับเทียบก่อนที่จะวัดกระแสไฟฟ้าที่ปลายของขันราก เริ่มจาก การปรับเทียบในแนวแกน x โดยเลื่อนไฟrob และไมโครอิเล็กโทรดปรับเทียบลงในสารละลายให้ออยู่ในระนาบเดียวกัน และมีระยะห่างระหว่างอิเล็กโทรดกับไฟrob 50 ไมโครเมตร (ภาพประกอบ 18) จากนั้นจ่ายกระแสไฟฟ้า +3 นาโนแอมเปอร์เป็นเวลา 1 นาที และผ่านกระแสไฟฟ้า -3 นาโนแอมเปอร์เป็นเวลา 1 นาที ไฟrob จะวัดค่าความต่างศักย์ไฟฟ้าที่ได้จากการจ่ายกระแสไฟฟ้า (ภาพประกอบ 19) ในกรณีปรับเทียบไฟrob ในแนวแกน y (ภาพประกอบ 20) ขั้นตอนการปรับเทียบ เช่นเดียวกับการปรับเทียบในแนวแกน x การจ่ายกระแสไฟฟ้าทั้งบวกและลบเพื่อปรับเทียบทิศทางของกระแสไฟฟ้ากับค่าศักย์ที่วัดได้โดยไฟrob (ภาพประกอบ 21 และ 22) ส่วนการปรับเทียบครั้งที่สองจะทำการปรับเทียบก่อนวัดกระแสไฟฟ้ารอบโชนของขันราก ขั้นตอนการปรับเทียบทามเช่นเดียวกับที่กล่าวมาแล้วแต่ระยะห่างระหว่างไฟrob กับไมโครอิเล็กโทรดเพิ่มเป็น 150 ไมโครเมตร และผ่านกระแสไฟฟ้า ± 3 นาโนแอมเปอร์



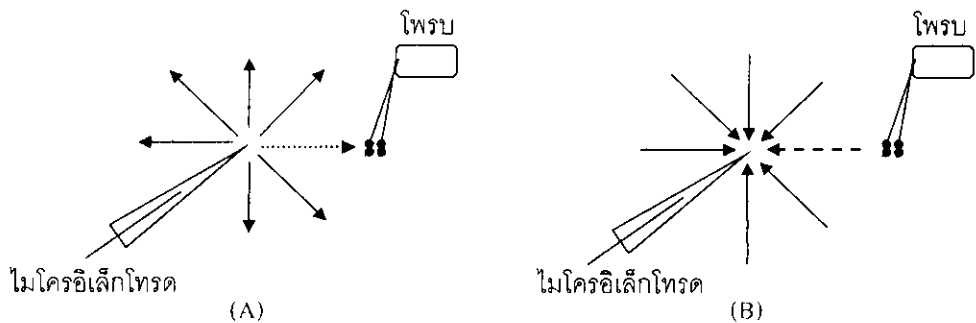
ภาพประกอบ 18 การปรับเทียบพรมในแนวแกน x โดยเพรบจะสั่นทั้งในแนวแกน x และ y



ภาพประกอบ 19 ลักษณะสัญญาณความต่างศักย์ที่ได้จากการปรับเทียบในแนวแกน x

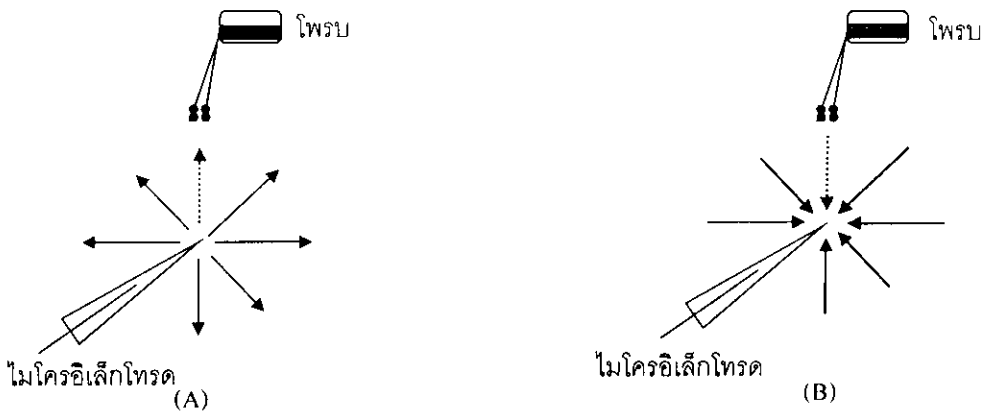


ภาพประกอบ 20 การปรับเทียบพรมในแนวแกน y โดยพรมจะสั่นทั้งในแนวแกน x และ y



หมายเหตุ ทิศทางของกระแสไฟฟ้าตามทิศทางของลูกศร  $-x \leftarrow \cdots \rightarrow +x$

ภาพประกอบ 21 ทิศทางของกระแสไฟฟ้าเมื่อปรับเทียบในแนวแกน x (A) 'ไม่มีแม่เหล็กไฟฟ้า' ให้กระแสไฟฟ้าในทิศ  $+x$  (ออกจากไม่มีแม่เหล็กไฟฟ้า) กระแสไฟฟ้าผ่านจากซ้ายไปขวาของพรม (B) 'มีแม่เหล็กไฟฟ้า' ให้กระแสไฟฟ้าในทิศ  $-x$  (เข้าสู่ไม่มีแม่เหล็กไฟฟ้า) กระแสไฟฟ้าผ่านจากขวาไปซ้ายของพรม ทิศทางกระแสไฟฟ้าพิจารณาจากทิศของลูกศร (จุฬาภรณ์ ม่วงดิษฐ์, 2544)



หมายเหตุ ทิศทางของกระแสไฟฟ้าตามทิศทางของลูกศร

+y  
-y

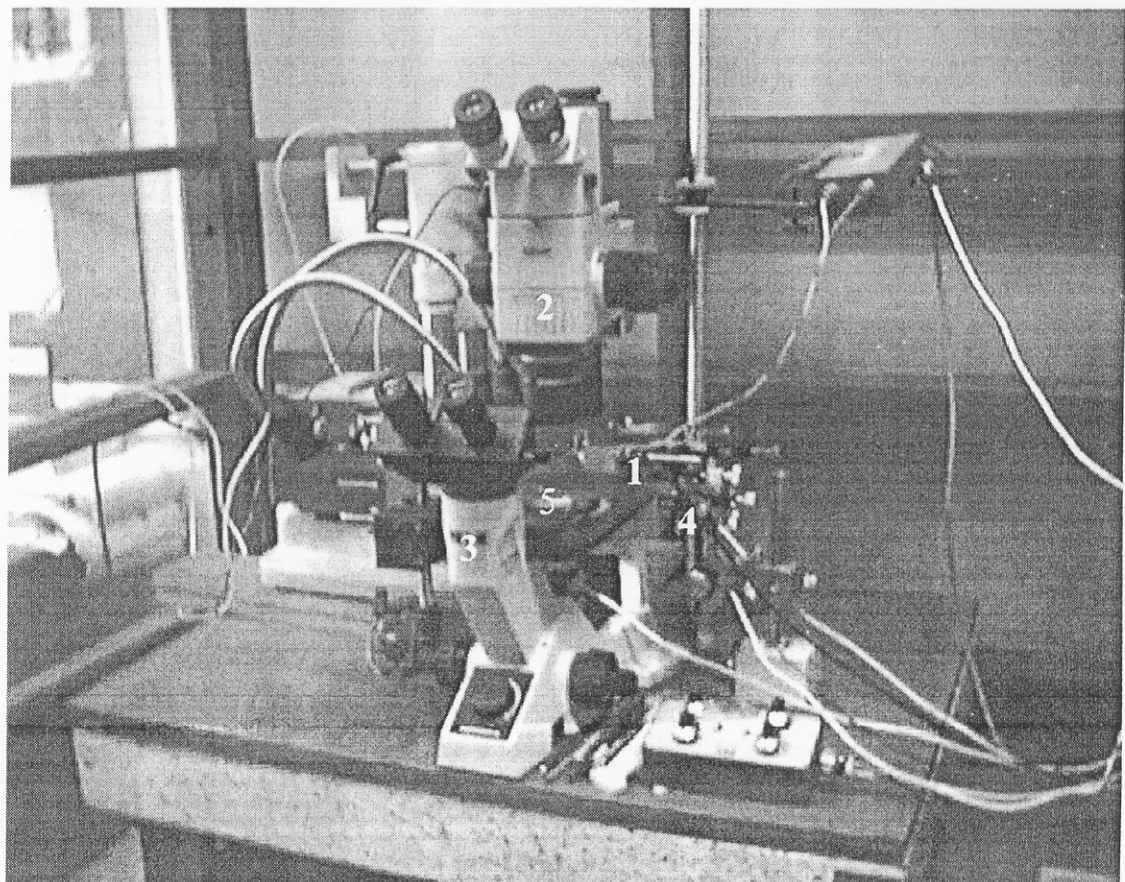
ภาพประกอบ 22 ทิศทางของกระแสไฟฟ้าเมื่อปรับเทียบในแนวแกน  $y$  (A) ไมโครอิเล็กโทรดให้กระแสไฟฟ้าในทิศ  $+y$  (ออกจากไมโครอิเล็กโทรด) กระแสไฟฟ้าผ่านจากด้านล่างด้านบนของพรม (B) ไมโครอิเล็กโทรดให้กระแสไฟฟ้าในทิศ  $-y$  (เข้าสู่ไมโครอิเล็กโทรด) กระแสไฟฟ้าผ่านจากด้านบนลงด้านล่างของพรมทิศทางกระแสไฟฟ้าพิจารณาจากทิศของลูกศร (จุฬาภรณ์ ม่วงดิษฐ์, 2544)

## 2.10 การวัดกระแสไฟฟ้าไอออน

นำภาชนะที่มีตันกล้าทานตะวันที่เตรียมไว้แล้ว (ข้อ 2.5) มาวางบนฐานกล้องจุลทรรศน์แบบอินเวอร์ท (ภาพประกอบ 23-3) จากนั้นปรับไฟก๊สโดยให้เห็นขนาดที่ต้องการวัดกระแสไฟฟ้าไอออนแล้วเลื่อนอิเล็กโทรดอ้างอิงลงในสารละลายห่างจากตันกล้า 2 เซนติเมตร เริ่มทำการปรับเทียบพรมโดยเลื่อนพรมและไมโครอิเล็กโทรดปรับปรับเทียบให้อยู่ในระนาบเดียวกับขนาดแล้วทำการปรับเทียบดังที่ได้กล่าวมาในหัวข้อ 2.9 หลังจากนั้นนำไมโครอิเล็กโทรดปรับเทียบออก เหลือเพียงอิเล็กโทรดอ้างอิงกับพรมเท่านั้น เริ่มวัดกระแสไฟฟ้าไอออนที่ปลายของขนาด โดยเลื่อนพรมไว้ที่ตำแหน่งอ้างอิงห่างจากปลายของขนาด 2000 ไมโครเมตร (ภาพประกอบ 24) เป็นเวลา

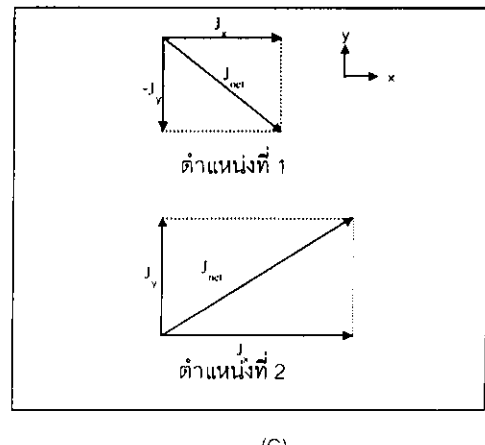
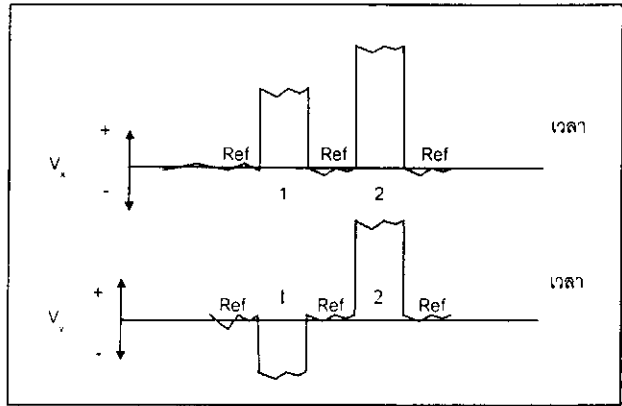
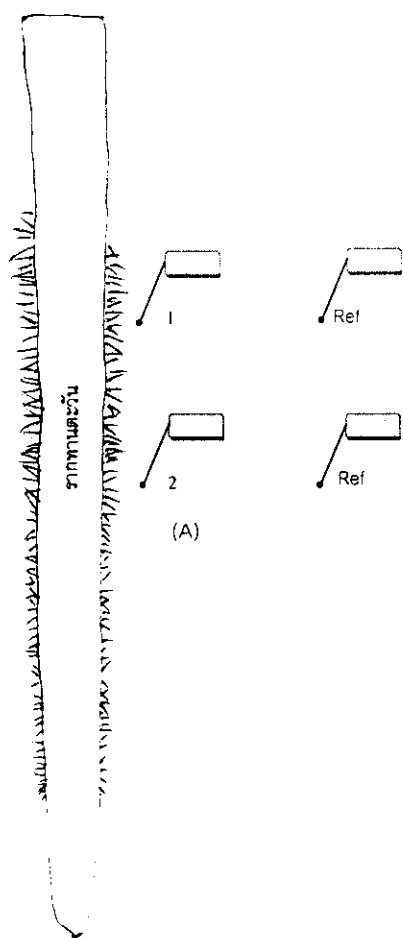
30 วินาที ตำแหน่งนี้จะไม่มีกระแทกไฟฟ้า ต่อมารีเลื่อนprobเข้าใกล้ปลายของขันรากโดยให้probอยู่ห่างจากปลายของขันรากเป็นระยะ 50 ไมโครเมตรเป็นเวลา 30 วินาที วัดค่าความต่างศักย์ไฟฟ้าที่เกิดขึ้น จากนั้นลีனprobกลับมาที่ตำแหน่งอ้างอิง

ในขณะวัดกระแทกไฟฟ้าในขันรากต้องมองผ่านกล้องจุลทรรศน์แบบอินเวอร์ท (ภาพประกอบ 23 – 2) เพื่อกำหนดตำแหน่งของprobเนื่องจากสามารถมองเห็นระยะห่างระหว่างปลายของขันรากกับprobได้ชัดเจนแต่จะเห็นภาพเป็นบริเวณไม่มากนัก ดังนั้นการลีนprobเข้า-ออกระหว่างตำแหน่งวัดและอ้างอิงจะมองผ่านกล้องจุลทรรศน์สเตอโริโอที่อยู่เนื่องจากสามารถมองภาพได้ในขอบเขตที่กว้างกว่ากล้องจุลทรรศน์แบบอินเวอร์ท ส่วนในกรณีที่วัดกระแทกไฟฟ้ารอบขันรากจะวัดที่ระยะห่างจากแนวของปลายของขันราก 150 ไมโครเมตร (ภาพประกอบ 24) เพื่อเปรียบเทียบทิศทางของกระแทกไฟฟ้าที่ปลายขันรากกับรอบขันรากว่ามีรูปแบบของกระแทกไฟฟ้าเหมือนหรือต่างกันอย่างไร และเปรียบเทียบกระแทกไฟฟ้าที่วัดได้จากปลายของขันรากและที่วัดห่างออกไปกระแทกไฟฟ้ามีการเปลี่ยนแปลงอย่างไร นำค่าศักย์ไฟฟ้าที่วัดได้มาคำนวนหาปริมาณกระแทกไฟฟ้าที่เกิดขึ้น



ภาพประกอบ 23 แสดงอุปกรณ์ของระบบไวนิเบรติงprob

1. prob
2. กล้องจุลทรรศน์สตอริโอ
3. กล้องจุลทรรศน์แบบอินเวอร์ท
4. Manipulator
5. ตัวอย่างที่วัด



ภาพประกอบ 24 แสดงการวัดกระแสไฟฟ้าไอออน (A) ที่ตำแหน่งที่ 1 และ 2 โดยprobeอยู่ที่ตำแหน่งอ้างอิงที่ระยะ 2000 ไมโครเมตร ก่อนเลื่อนมาวัดที่ตำแหน่งปลายขันราก (50 ไมโครเมตร) (B) ค่าความต่างศักย์ไฟฟ้าที่วัดได้ที่ตำแหน่งที่ 1 และ 2 (C) ตัวอย่างเขียนแผนภาพรวมกันแบบวงเดือนรูของกระแสไฟฟ้าไอออนในแนวแกน x และ y

## 2.11 การคำนวณผล

จากค่าความต่างศักย์ไฟฟ้าที่วัดได้สามารถคำนวณหาค่ากระแสไฟฟ้า (ความหนาแน่นกระแส) โดยเทียบจากค่าความต่างศักย์ไฟฟ้าที่ได้จากสัญญาณปรับเทียบ (ข้อ 2.9) ในกรณีที่วัดกระแสไฟฟ้าที่ปลายของขันรากจะปรับเทียบprobทั้งสองแนวแกนคือ แนวแกน x และแนวแกน y ที่ระยะห่างระหว่างอิเล็กโทรดปรับเทียบกับprob 50 ไมโครเมตร (μm) และผ่านกระแส ( $I$ )  $\pm 3.0$  นาโนแอมป์ และความต่างศักย์ไฟฟ้าที่ได้จากการปรับเทียบคือ  $V_{xx}$  และ  $V_{yy}$  ตามดังนั้น ความหนาแน่นกระแสสามารถคำนวณได้จากสมการ

$$J = \frac{I}{4\pi r^2} \quad (6)$$

ดังนั้น

$$\begin{aligned} J &= \frac{\pm 3nA}{4\pi(50 \times 10^{-4})^2 cm^2} \\ &= 9.54 \text{ } \mu A/cm^2 \end{aligned}$$

ให้ความต่างศักย์ที่วัดได้จากปลายของขันรากคือ  $V_x$  และ  $V_y$  และความต่างศักย์ไฟฟ้าที่ได้จากการปรับเทียบคือ  $V_{xx}$  และ  $V_{yy}$  ตามลำดับ ดังนั้นความหนาแน่นกระแสทั้งสองแนวแกนสามารถคำนวณได้จาก

$$J_x = \frac{V_x}{V_{xx}} \times 9.54 \text{ } \mu A/cm^2$$

และ

$$J_y = \frac{V_y}{V_{yy}} \times 9.54 \text{ } \mu A/cm^2$$

เมื่อ  $J_x$  และ  $J_y$  คือความหนาแน่นกระแสในแนวแกน x และ y ตามลำดับ

เนื่องจากส่วนของprob ในแนวแกน x ไม่ได้อยู่แนวซ้าย - ขวา แต่จะทำมุ่งเอียงบน - ล่าง เมื่อเทียบกับแนวแกน x () ดังนั้นในขณะที่ปรับเทียบในแนวแกน y ช่องสัญญาณ x ซึ่งควรจะมีความต่างศักย์ไฟฟ้าเป็นศูนย์จะวัดค่าความต่างศักย์ไฟฟ้า  $V_x$  ได้ด้วย นั่นคือความต่างศักย์ไฟฟ้าที่วัดได้จากรากในแนวแกน x ( $V_x$ ) จะมีส่วนที่เกิดจากกระแสไฟฟ้าในแนวแกน y รวมอยู่ส่วนหนึ่ง ดังนั้นก่อนจะคำนวณความหนาแน่นกระแสในแนวแกน x จะต้องหักเอาส่วนเกินดังกล่าวออก ก่อน โดยส่วนเกินดังกล่าวจะเป็นสัดส่วนโดยตรงสัญญาณปรับเทียบและสัญญาณที่วัดได้จากแนวแกน y นั่นคือส่วนเกินนี้หาได้จาก

$$\left( \frac{V_x}{V_{yy}} \right) V_y \quad (7)$$

ตั้งนั้นความต่างศักย์ไฟฟ้าสูงชิในแนวแกน x ( $V_{x1}$ )

$$V_{x1} = V_x - \left( \frac{V_x}{V_{yy}} \right) V_y \quad (8)$$

ส่วนทิศของกระแสไฟฟ้าหาได้จากการพิจารณาค่าบวกหรือค่าลบของความต่างศักย์ไฟฟ้าที่วัดได้เทียบกับความต่างศักย์ไฟฟ้าที่ได้จากการปรับเทียบ ในงานวิจัยนี้พบว่า

ในแนวแกน x กระแสไฟฟ้า  $+J_x$  ( $\rightarrow$ ) มีทิศ  $+x$  จะให้ความต่างศักย์ไฟฟ้า  $+V_x$   
 $-J_x$  ( $\leftarrow$ ) มีทิศ  $-x$  จะให้ความต่างศักย์ไฟฟ้า  $-V_x$

ในแนวแกน y กระแสไฟฟ้า  $+J_y$  ( $\uparrow$ ) มีทิศ  $+y$  จะให้ความต่างศักย์ไฟฟ้า  $+V_y$   
 $-J_y$  ( $\downarrow$ ) มีทิศ  $-y$  จะให้ความต่างศักย์ไฟฟ้า  $-V_y$

ตัวอย่างการพิจารณา

ค่าความต่างศักย์ไฟฟ้าที่วัดได้จากการปรับเทียบในแนวแกน x

$$V_{xx} = 2.5 \text{ โวลต์}$$

ค่าความต่างศักย์ไฟฟ้าที่วัดได้จากการปรับเทียบในแนวแกน y

$$V_{yy} = 3.3 \text{ โวลต์}$$

$$V_x = -0.50 \text{ โวลต์}$$

ความต่างศักย์ไฟฟ้าที่วัดได้จากปลายของขันรากในสารละลาย APW pH 6.0

$$V_x = -0.090 \text{ โวลต์}$$

$$V_y = 0.050 \text{ โวลต์}$$

ตั้งนั้นความหนาแน่นกระแสในแนวแกน y

$$J_y = \frac{V_y}{V_{yy}} \times 9.54 \mu A/cm^2 = \frac{0.050}{3.3} \times 9.54 = 0.14 \mu A/cm^2$$

และเนื่องจาก  $V_y$  เป็นวงกuit มีทิศ  $+y$

### ความหนาแน่นกระแสในแนวแกน x

ขณะปรับเทียบในแนวแกน y ซึ่งสัญญาณ x วัดความต่างศักย์ไฟฟ้าในแนวแกน x ( $V_x$ ) ได้  $-0.50$  โวลต์ ดังนั้นความต่างศักย์ไฟฟ้าในแนวแกน x ที่ได้จากการปรับเทียบในแนวแกน y คือ

$$V_y \left( \frac{V_x}{V_{yy}} \right) = (0.050) \left( \frac{-0.50}{3.3} \right) = -0.010 \text{ โวลต์}$$

นั่นคือความต่างศักย์ไฟฟ้าสุทธิในแนวแกน x ( $V_{x1}$ )

$$V_{x1} = V_x - V_y \left( \frac{V_x}{V_{yy}} \right) = -0.090 - (-0.010) = -0.080 \text{ โวลต์}$$

$$= -0.080 \text{ โวลต์}$$

ดังนั้นความหนาแน่นกระแสในแนวแกน x

$$J_x = \frac{V_{x1}}{V_{xx}} \times 9.54$$

$$= \frac{-0.08}{2.5} \times 9.54$$

$$= -0.31 \mu\text{A/cm}^2$$

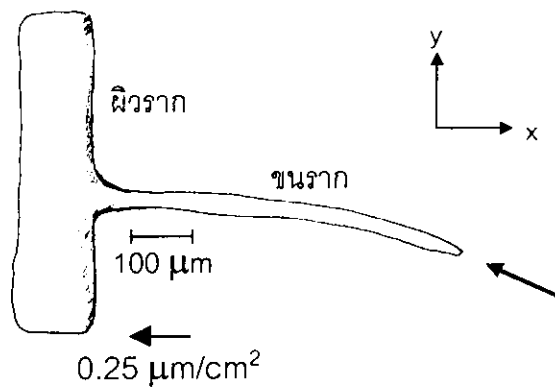
และเนื่องจากทิศของความหนาแน่นกระแสพิจารณาจากทิศของความต่างศักย์  $V_x$  ซึ่งมีค่าลบ นั่นคือ  $J_x$  มีทิศ  $-x$

ดังนั้น ความหนาแน่นกระแส  $J_x$  เท่ากับ  $0.31 \mu\text{A/cm}^2$  มีทิศทางในทิศ  $-x$  และความหนาแน่นกระแส  $J_y$  เท่ากับ  $0.14 \mu\text{A/cm}^2$  มีทิศทางในทิศ  $+y$

สำหรับความหนาแน่นกระแสไฟฟ้าที่ปลายของขันรากเป็นผลรวมของความหนาแน่นกระแสในสองแนวแกน โดยรวมกันแบบเวกเตอร์ ดังนี้

$$\begin{aligned}
 J_{total} &= \sqrt{J_x^2 + J_y^2} \\
 &= \sqrt{(0.31)^2 + (0.14)^2} \\
 &= 0.35 \text{ } \mu\text{A/cm}^2
 \end{aligned}$$

ส่วนทิศของกระแสไฟฟ้าพิจารณาตามทิศกระแสไฟฟ้าในแนวแกน x โดยเปรียบเทียบกับทิศการเคลื่อน鄱อบเข้า - ออก ระหว่างตัวแหน่งวัดกับตัวแหน่งอ้างอิงในแนวแกน x ดังนั้นความหนาแน่นกระแสไฟฟ้าที่ปลายของขันราก คือ  $0.35 \text{ } \mu\text{A/cm}^2$  มีทิศเข้า - x โดยสามารถเขียนแผนภาพรวมกันแบบเวกเตอร์ (ภาพประกอบ 24(C)) เมื่อเปรียบเทียบกับการวางตัวอย่างในขณะทำการวัดกระแสไฟฟ้าไออกอนจะมีทิศเข้าสู่ปลายของขันราก (ภาพประกอบ 25)



ภาพประกอบ 25 ตัวอย่างทิศกระแสไฟฟ้าที่ปลายของขันราก

นอกจากวัดกระแสไฟฟ้าที่ปลายของขันรากแล้วยังได้วัดกระแสไฟฟ้ารอบโชนขันรากที่ระยะห่าง 150 ไมโครเมตรจากแนวปลายของขันรากเพื่อเปรียบเทียบทิศของกระแสไฟฟ้ารอบโชนขันรากกับปลายของขันราก โดยวัดบริเวณรอบโชนที่ตัวแหน่งห่างจากปลายของขันรากออกไปและตลอดทั้งโชนของขันราก และวิธีการคำนวณค่าความหนาแน่นกระแสและภารพิจารณาทิศทางของ

กระแสงไฟฟ้าเช่นเดียวกับในตัวอย่างการคำนวณข้างต้น แต่ความหนาแน่นกระแสงที่ได้จากการปรับเทียบเท่ากับ 10.60 ในครอเมกเปร์ต่อตารางเซนติเมตร

## 2.12 การศึกษากระแสงไฟฟ้าไอออนในขันราก และรอบโซนขันรากงานตะวันในสภาวะปกติ

ในกรณีสภาวะปกติทำการวัดกระแสงไฟฟ้าไอออนในสารละลายน้ำ APW pH 6.00 ± 0.05 เพื่อศึกษาว่ากระแสงไฟฟ้าที่เกิดขึ้นมีขนาดและทิศทางอย่างไร โดยนำต้นกล้าที่มีขันรากงานตะวันที่เลี้ยงในสารละลายน้ำที่สภาวะปกติตามที่กำหนดไว้ในภาชนะรูปสี่เหลี่ยมดังหัวข้อ 2.5 เดิมสารละลายน้ำ APW จะท่วมต้นกล้า ตั้งทิ้งไว้เป็นเวลา 45 นาทีเพื่อปรับสภาพของต้นกล้าในสภาวะสิ่งแวดล้อมใหม่ ก่อนเริ่มทำการทดลองต้องทำการปรับเทียบโดยตามหัวข้อที่ 2.9 หลังจากนั้นนำค่าศักยไฟฟ้าที่วัดได้ในแต่ละขันราก และที่ต่ำแห่งต่างรอบโซนขันรากเพื่อเปรียบเทียบกับกระแสงไฟฟ้าที่เกิดจากขันราก นำค่าความต่างศักย์ที่วัดได้มาหาค่ากระแสงไฟฟ้าไอออนตามหัวข้อ 2.11

## 2.13 การศึกษากระแสงไฟฟ้าในขันราก และรอบโซนขันรากงานตะวันเมื่อเปลี่ยน pH

ศึกษากระแสงไฟฟ้าในขันราก และรอบโซนขันรากงานตะวันเมื่อ pH ของสารละลายน้ำ APW เปลี่ยนไปว่ามีผลต่อกระแสงไฟฟ้าไอออนในขันรากและรอบโซนกลุ่มของขันรากอย่างไร จากการวิจัยที่ผ่านมาพบว่าเมื่อมีการเปลี่ยนแปลงของค่า pH ของสารละลายน้ำก็มีผลต่อกระแสงไฟฟ้าที่เกิดขึ้นในรากพิชกล่าวคือเมื่อค่า pH ลดลงปริมาณกระแสงไฟฟ้ามีทิศเข้าสู่รากเพิ่มมากขึ้นในขณะที่ pH เพิ่มขึ้นกระแสงไฟฟ้ามีค่าลดลง (Miller, 1989; Weisenseel et al., 1979) นอกจากนี้ Weisenseel และคณะ (1979) พบอีกว่า  $H^+$  เป็นองค์ประกอบของกระแสงไฟฟ้าไอออน ดังนั้นการเปลี่ยนแปลงของค่า pH นำมีผลต่อนรากด้วยจึงได้ศึกษากระแสงไฟฟ้าไอออนในขันรากเมื่อค่า pH ของสารละลายน้ำ APW เท่า  $4.00 \pm 0.05$  และ  $8.00 \pm 0.05$  ตามลำดับ

### 2.13.1 ศึกษากระแทไฟฟ้าในไขนราก และรอบโซนไขนรากที่มี APW

pH 4.00 ± 0.05

ทำการทดลองเช่นเดียวกับหัวข้อ 2.12 แต่เปลี่ยนสารละลายน้ำ APW pH 6.00 ± 0.05 เป็น สารละลายน้ำ APW pH 4.00 ± 0.05 โดยทำการล้างต้นกล้าด้วยสารละลายน้ำ APW pH 4.00 2 ครั้งก่อนเติมสารละลายน้ำเพื่อวัดกระแทไฟฟ้าต่อไป

### 2.13.2 ศึกษากระแทไฟฟ้าในไขนราก และรอบโซนไขนรากที่มี APW

pH 8.00 ± 0.05

ทำการทดลองเช่นเดียวกับหัวข้อ 2.12 แต่เปลี่ยนสารละลายน้ำ APW pH 6.00 ± 0.05 เป็น สารละลายน้ำ APW pH 8.00 ± 0.05

## 2.14 ศึกษาผลของไออุ่นต่อกระแทไฟฟ้าในไขนราก และรอบโซนไขนรากทันตะวัน

การเกิดกระแทไฟฟ้าไออุ่นเกิดจากการเคลื่อนที่ของไออุ่นชนิดต่าง ๆ ดังนั้นมือสารละลายน้ำมีการเปลี่ยนชนิดของไออุ่นและการเปลี่ยนแปลงของกระแทไฟฟ้าที่เกิดขึ้นในไขนรากและรอบโซนไขนรากมาเปรียบเทียบกับกระแทไฟฟ้าไออุ่นในภาวะปกติ

### 2.14.1 ผลของแคลเซียมคลอไรด์

ทำการทดลองเริ่มจากนำต้นกล้ามาเตรียมเช่นเดียวกับหัวข้อ 2.12 ก่อนที่จะทำการทดลองจะต้องล้างด้วยสารละลายน้ำที่มีแคลเซียมคลอไรด์เพียงอย่างเดียว 2 ครั้ง ก่อนทำการเติมสารละลายน้ำที่มีแคลเซียมคลอไรด์เพียงอย่างเดียว ตั้งทิ้งไว้เป็นเวลา 45 นาที ทำการปั๊บก่อนเริ่มทำการทดลอง นำผลการทดลองที่ได้มาคำนวนหาค่ากระแทไฟฟ้า (2.10)

### 2.14.2 ผลของโพแทสเซียมคลอไรด์

ดำเนินการทดลองเช่นเดียวกับหัวข้อ 2.14.1 แต่เปลี่ยนสารละลายน้ำเป็นสารละลายน้ำที่มีโพแทสเซียมคลอไรด์เพียงอย่างเดียว

### 2.14.3 ผลของสารละลายน้ำที่ไม่มีคลอไรด์ไออุ่น

ดำเนินการทดลองเช่นเดียวกับหัวข้อ 2.14.1 แต่เปลี่ยนสารละลายน้ำเป็น APW ที่ไม่มีคลอไรด์

## 2.15 ผลของอัลูมิเนียมต่อกราแฟไฟฟ้าไอออน

ดำเนินการทดลองเช่นเดียวกับหัวข้อ 2.13.1 แต่เปลี่ยนสารละลายเป็น APW pH 4.00 ± 0.05 ที่มีอัลูมิเนียมคลอไร์ดความเข้มข้น 0.1 มิลลิโมลาร์ในสารละลาย

## 2.16 การหาอัตราภัยดของชนวนรากรทันตะวัน

จากการดูชนวนรากรทันตะวันผ่านกล้องจุลทรรศน์แบบอินเวอร์ท เลือกชนวนรากรที่อยู่ห่างจากชนวนอื่นอย่างเห็นได้ชัดที่จะวัดกราแฟไฟฟ้า ในขณะเดียวกันจะทำการอัตราภัยดของชนวนรากร เริ่มจากวัดความยาวของชนวนรากรโดยให้โคนของชนวนรากรเป็นจุดอ้างอิงพร้อมบันทึกเวลาเริ่มต้น เมื่อเวลาผ่านไป วัดความยาวของชนวนรากรอีกครั้ง บันทึกเวลาสุดท้าย คำนวนหาอัตราภัยดของชนวนรากรโดย

$$\text{อัตราภัยด} = \frac{\text{ความยาวของชนวนรากรสุดท้าย} - \text{ความยาวของชนวนรากรเริ่มต้น} (\mu\text{m})}{\text{เวลาสุดท้าย} - \text{เวลาเริ่มต้น} (\text{min})}$$

## 2.17 การวิเคราะห์ผลทางสถิติ

ในการศึกษากราแฟไฟฟ้าไอออนในชนวนรากรและรอบๆ กลุ่มชนวนรากรทันตะวันที่สภาวะต่างๆ พบร่วมกันในสภาวะการทดลองเดียวกันผลกระทบทดลองจากรากที่ต่างกันก็อาจจะให้ผลต่างกันดังนั้นจึงต้องทำการทดลองซ้ำหลายรายการเพื่อดูแนวโน้มของผลการทดลอง และในการสรุปผลใช้วิธีทางสถิติ

### 2.17.1 ทิศของกราแฟไฟฟ้า

เพื่อเปรียบเทียบทิศทางของกราแฟไฟฟ้าที่ต่างกันในหlays ฯ รากว่ามีทิศเข้าหรือออกจากรากอย่างมีนัยสำคัญหรือไม่ ใช้ "การทดสอบสัดส่วนของประชากรกลุ่มเดียว" (testing proportion of one population) (อภิญญา, 2533)

โดยให้  $H_0$  เป็นสมมติฐานนิสัย และ  $H$  เป็นสมมติฐานอื่น โดยตั้งสมมติฐานดังนี้

$H_0$  : สัดส่วนของกราแฟไฟฟ้าที่มีทิศเข้าสู่รากและออกจากรากไม่แตกต่างกัน นั่นคือสัดส่วนของประชากร  $\pi = 0.5$

ในกรณีที่คาดว่าทิศของกระแสไฟฟ้าจะเข้าสู่รากมากกว่าออกจากราก จะให้

$H_1$  : สัดส่วนของกระแสไฟฟ้าที่มีทิศออกจากรากมากกว่ากระแสไฟฟ้าเข้าสู่ราก  
นั่นคือ  $\pi > 0.5$

ส่วนในการนี้ที่คาดว่าทิศของกระแสไฟฟ้าจะออกจากรากมากกว่าเข้าสู่ราก ให้

$H_0$  : สัดส่วนของกระแสไฟฟ้าที่มีทิศเข้าสู่รากมากกว่ากระแสไฟฟ้าออกจากราก  
นั่นคือ  $\pi > 0.5$

ตัวทดสอบสถิติคือ

$$Z = \frac{\hat{p} - \pi}{\sqrt{\frac{\pi(1-\pi)}{n}}} \quad (9)$$

เมื่อ  $\hat{p}$  เป็นสัดส่วนของตัวอย่าง โดยที่  $\hat{p} = X/n$   $n$  คือ จำนวนตัวอย่างที่วัดกระแสไฟฟ้า  
ไอลอน

โดย  $X$  คือจำนวนรากที่กระแสไฟฟ้ามีทิศเข้าสู่รากหรือออกจากราก ตามที่ตั้งไว้ใน  
สมมติฐาน  $H_0$

และ  $\pi$  เป็นสัดส่วนของประชากร  $= 0.5$  ตาม  $H_0$

หาก  $Z$  มากกว่าค่าวิกฤต (ตาราง 2) จะปฏิเสธ  $H_0$

ตัวอย่างกรณีที่ 1: กระแสไฟฟ้ามีทิศออกจากรากมากกว่ามีทิศเข้าสู่ราก

ให้  $H_0$  มีค่า  $\pi = 0.5$  และ  $H_1$  มีค่า  $\pi > 0.5$  จากการทดลองในสภาวะปกติ 8 รากที่ตำแหน่ง 13.50 มิลลิเมตรจากโคนราก พบรกระแสไฟฟ้ามีทิศออกจากรากจำนวน 7 ราก และกระแสไฟฟ้ามีทิศ  
ออกจากรากจำนวน 1 ราก ดังนั้น  $n=8$ ,  $x =$  จำนวนรากที่มีทิศของกระแสไฟฟ้าเข้าสู่ราก  $=$

จะได้  $\hat{p} = 7/8 = 0.88$

และใช้ตัวทดสอบสถิติตามสมการ (3)

$$Z = \frac{0.88 - 0.5}{\sqrt{\frac{0.5(1-0.5)}{8}}} = 2.14$$

ค่า  $Z$  ที่คำนวนได้คือ 2.14 มากกว่าค่าวิกฤติแบบทางเดียวที่ระดับความมั่นยำสำคัญ

$\alpha = 0.05$  ( $Z=1.65$ ) จึงปฏิเสธ  $H_0$  ที่  $\alpha = 0.05$

นั่นคือ กระแสไฟฟ้ามีทิศออกจากรากมากกว่าเข้าสู่รากอย่างมีนัยสำคัญด้วยระดับความเชื่อมั่น

95 % ( $P < 0.05$ )

ตัวอย่างกรณีที่ 2 : กระแตไฟฟ้าเข้าสู่รากมากกว่าออกจากราก

ให้  $H_0$  มีค่า  $\pi = 0.5$  และ  $H$  มีค่า  $\pi > 0.5$  จากการทดลองในสารละลายน้ำ APW pH 4.00 จำนวน 12 รากที่ตัดแหงง 11.75 มิลลิเมตรจากโคนราก พบกระแตไฟฟ้ามีทิศเข้าสู่รากจำนวน 11 ราก และกระแตไฟฟ้ามีทิศออกจากรากจำนวน 1 ราก ดังนั้น  $n = 12$ ,  $x =$  จำนวนรากที่มีทิศของกระแตไฟฟ้าเข้าสู่ราก = 11

$$\text{จะได้ } \hat{p} = 11/12 = 0.92 \text{ และได้ค่า } Z \text{ จากสมการ (9)} = 2.89$$

ค่า  $Z$  ที่คำนวนได้คือ 2.89 มากกว่าค่าวิกฤติแบบทางเดียวที่  $\alpha = 0.05$  ( $Z=1.65$ )

ดังนั้นเราจึงปฏิเสธ  $H_0$  ที่  $\alpha = 0.05$

นั่นคือ กระแตไฟฟ้ามีทิศเข้าสู่รากมากกว่าออกจากรากอย่างมีนัยสำคัญด้วยระดับความเชื่อมั่น

95 % ( $P < 0.05$ )

ตัวอย่างกรณีที่ 3 : ไม่สามารถระบุได้ว่ากระแตไฟฟ้ามีทิศใดมากกว่ากัน

ให้  $H_0$  มีค่า  $\pi = 0.5$  และ  $H$  มีค่า  $\pi > 0.5$  จากการทดลองในสารละลายน้ำ APW pH 4.00 จำนวน 12 รากที่ตัดแหงง 14.00 มิลลิเมตรจากโคนราก พบกระแตไฟฟ้ามีทิศเข้าสู่รากจำนวน 7 ราก และกระแตไฟฟ้ามีทิศออกจากรากจำนวน 5 ราก ดังนั้น  $n = 12$ ,  $x =$  จำนวนรากที่มีทิศของกระแตไฟฟ้าเข้าสู่ราก เท่ากับ 7 ราก

$$\text{จะได้ } \hat{p} = 7/12 = 0.58 \text{ และได้ค่า } Z \text{ จากสมการ (9)} = 0.58 \text{ ซึ่งน้อยกว่า } Z \text{ ที่}$$

$\alpha = 0.05$  (1.65)

ดังนั้นเราจึงยอมรับ  $H_0$  นั่นคือไม่สามารถกล่าวอย่างมีนัยสำคัญได้ว่ากระแตไฟฟ้ามีทิศเข้าสู่รากมากกว่าออกจากราก ( $P > 0.05$ )

ตาราง 2 ค่าวิกฤติเมื่อกำหนดค่าระดับความมีนัยสำคัญ ( $\alpha$ ) ต่างๆ กัน (อกกฤษฎา. 2533)

	$\alpha$	ค่าวิกฤติ
การทดสอบแบบ สองทาง	0.05	$Z_{0.025} = \pm 1.96$
	0.01	$Z_{0.005} = \pm 2.58$
	0.001	$Z_{0.0005} = \pm 3.29$
การทดสอบแบบ ทางเดียว	0.05	$Z_{0.05} = 1.65$
	0.01	$Z_{0.01} = 2.33$
	0.001	$Z_{0.001} = 3.09$

### 2.17.2 ผลของ pH ของสารละลายภายนอก

เนื่องจากค่ากราฟไฟฟ้าไอออนที่วัดในสภาพปกติ (APW pH 6.00) และ เมื่อ pH ของสารละลายภายนอกเปลี่ยนไป (pH 4.00 และ 8.00) หรือเมื่อมีการเปลี่ยนแปลงความเข้มข้นของไอออนบางชนิดในสารละลาย อาจจะทำให้ค่ากราฟไฟฟ้าที่วัดได้จากตัวแทนเดียวกัน แต่ค่าคงรากมีการเปลี่ยนแปลงไป จึงทดสอบกราฟไฟฟ้าไอออนของตัวแทนเดียวกันในทุกๆ รายการว่ามีความแตกต่างกันหรือไม่เมื่อสภาพของสารละลายภายนอกเปลี่ยนไป โดยใช้วิธีเปรียบเทียบค่าเฉลี่ยของประชากรสองกลุ่ม สอดคล้องกับค่าที่ใช้ทดสอบคือ

$$t = \frac{\bar{X}_1 - \bar{X}_2}{s \sqrt{\frac{1}{n_1} + \frac{1}{n_2}}} \quad \text{โดยที่ } df = n_1 + n_2 - 2 \quad (10)$$

และ ค่าที่  $s$  หาได้จาก

$$s = \sqrt{\frac{(n_1 - 1)s_1^2 + (n_2 - 1)s_2^2}{n_1 + n_2 - 2}} \quad (11)$$

เมื่อ

$\bar{X}_1, \bar{X}_2$  = ค่าเฉลี่ยของขนาดกราฟไฟฟ้าที่ตัวแทนเดียวกันของทุกๆ รายการในสภาวะการทดสอบที่หนึ่งและสอง

$s$  = ค่าเบี่ยงเบนมาตรฐานของกราฟไฟฟ้าในสองสภาวะข้างต้น (สมการ 11)

$s_1, s_2$  = ค่าเบี่ยงเบนมาตรฐานของกราฟไฟฟ้าในสภาวะที่หนึ่งและสอง

$n_1, n_2$  = จำนวนวัดของgradeไฟฟ้าในสภาวะที่หนึ่งและสอง

$$df = \text{degree of freedom} = n_1 + n_2 - 2$$

โดยมีขั้นตอนในการพิจารณาดังนี้

ขั้นตอนที่ 1 ต้องสมมติฐานให้  $H_0$  เป็นสมมติฐานนิยมและ  $H$  เป็นสมมติฐานอื่น

ขั้นตอนที่ 2 ที่แต่ละตำแหน่งของราก หาค่าเฉลี่ยของขนาดของgradeไฟฟ้าโดยอน

ในสารละลายสภาวะที่ 1

$$\bar{X}_1 = \frac{\sum_{j=1}^{n_1} X_{1j}}{n_1} \quad (12)$$

และเมื่อสารละลายภายนอกเปลี่ยนเป็นสภาวะที่ 2

$$\bar{X}_2 = \frac{\sum_{j=1}^{n_2} X_{2j}}{n_2} \quad (13)$$

หลังจากนั้นหาค่าผลต่าง

$$\bar{X}_1 - \bar{X}_2$$

ขั้นตอนที่ 3 หาค่าส่วนเบี่ยงเบนมาตรฐานของgradeไฟฟ้าในสภาวะทั้งสองจาก

$$s_1 = \sqrt{\frac{\sum_{j=1}^{n_1} (X_{1j} - \bar{X}_1)^2}{n_1 - 1}} \quad (14)$$

และ

$$s_2 = \sqrt{\frac{\sum_{j=2}^{n_2} (X_{2j} - \bar{X}_2)^2}{n_2 - 1}} \quad (15)$$

ขั้นตอนที่ 4 แทนค่าในสถิติทดสอบ (สมการ 10) และนำค่า  $t$  ที่คำนวณได้เปรียบเทียบกับค่าวิกฤติ (ตาราง 3) โดยพิจารณากราฟทดสอบแบบทางเดียวที่มี  $df = n_2 + n_1 - 2$  นำค่า  $t$  ที่คำนวณได้มีค่ามากกว่าค่าวิกฤตที่จะต้นย้ำคัญ  $\alpha$  จะปฏิเสธ  $H_0$  จะยอมรับสมมติฐานอื่น ( $H$ ) ในทางตรงกันข้ามหากค่า  $t$  มีค่าน้อยกว่าค่าวิกฤตจะยอมรับสมมติฐานนิยม

ตัวอย่างการคำนวณ ต้องการทดสอบขนาดของกระแทไฟฟ้าที่วัดจากตำแหน่ง 15.75 มิลลิเมตรจากโคนราก ในสารละอุ pH 4.00 จำนวน 12 ราก ( $g_1$ ) และในสารละลายน้ำ pH 6.00 จำนวน 8 ราก ( $g_2$ ) ว่ามีความแตกต่างกันหรือไม่โดยทำการทดสอบที่กล่าวมา

ในการทดสอบให้

$H_0$  คือ ขนาดของกระแทไฟฟ้าในสารละลายน้ำ pH 4.00 ไม่แตกต่างกัน

$H_1$  คือ ขนาดของกระแทไฟฟ้าในสารละลายน้ำ pH 4.00

มากกว่าสภาวะปกติ

จากการทดลองที่ตำแหน่ง 15.75 มิลลิเมตรห่างจากโคนราก มีค่าดังนี้

$$\bar{X}_1 = 0.57 \quad s_1 = 0.36$$

$$\bar{X}_2 = 0.34 \quad s_2 = 0.19$$

$$\text{ตั้งชี้นำ } \bar{X}_1 - \bar{X}_2 = 0.57 - 0.34 = 0.23$$

$$\begin{aligned} s &= \sqrt{\frac{(n_1 - 1)s_1^2 + (n_2 - 1)s_2^2}{n_1 + n_2 - 2}} \\ &= \sqrt{\frac{11(0.36)^2 + 7(0.19)^2}{18}} \\ &= 0.31 \end{aligned}$$

จาก

$$\begin{aligned} t &= \frac{\bar{X}_1 - \bar{X}_2}{s \sqrt{\left(\frac{1}{n_1} + \frac{1}{n_2}\right)}} \\ &= \frac{0.23}{0.31 \sqrt{\left(\frac{1}{12} + \frac{1}{8}\right)}} \quad df = n_1 + n_2 - 2 = 18 \\ &= 1.62 \end{aligned}$$

นำค่า t ที่คำนวณได้ไปเปรียบเทียบกับค่าวิกฤติ (ตาราง 3) จากตัวอย่างค่า t คือ 1.62 มีค่าเป็นบวกและมีค่ามากกว่าค่าวิกฤติแบบทางเดียวที่ระดับนัยสำคัญ  $\alpha = 0.1$  ( $t_{\alpha} = 1.33$ ) จึงปฏิเสธ  $H_0$  ยอมรับสมมติฐานอื่น ( $H$ ) ดังนั้นที่ดำเนินการนี้ข้ามคาดการณ์ไว้ก่อน ในสารละลาย APW pH 4.00 มีขนาดมากกว่าที่สภาวะปกติ อย่างมีนัยสำคัญ ( $P < 0.1$ )

ตาราง 3 ค่าวิกฤติของการแจกแจงแบบที่ (t) เมื่อ  $df = n-1$  และ  $\alpha$  คือค่าระดับความเชื่อมั่น

df	$\alpha$					
	0.1	0.05	0.025	0.01	0.005	0.001
1	3.078	6.314	12.706	31.821	63.657	318.310
2	1.886	2.920	4.303	6.965	9.925	22.326
3	1.638	2.353	3.182	4.541	5.841	10.213
4	1.533	2.132	2.776	3.747	4.604	7.173
5	1.476	2.015	2.571	3.365	4.032	5.893
6	1.440	1.943	2.447	3.143	3.707	5.208
7	1.415	1.895	2.365	2.998	3.499	4.785
8	1.397	1.860	2.306	2.896	3.355	4.501
9	1.383	1.833	2.262	2.821	3.250	4.297
10	1.372	1.812	2.228	2.764	3.169	4.144
11	1.363	1.796	2.201	2.718	3.106	4.025
12	1.356	1.782	2.179	2.681	3.055	3.930
13	1.350	1.771	2.160	2.650	3.012	3.852
14	1.345	1.761	2.145	2.624	2.977	3.787
15	1.341	1.753	2.131	2.602	2.947	3.733
16	1.337	1.746	2.120	2.583	2.921	3.686
17	1.333	1.740	2.110	2.567	2.898	3.646
18	1.330	1.734	2.101	2.552	2.878	3.610
19	1.328	1.729	2.093	2.539	2.861	3.579
20	1.325	1.725	2.086	2.528	2.845	3.552
21	1.323	1.721	2.080	2.518	2.831	3.527
22	1.321	1.717	2.074	2.508	2.819	3.505
23	1.319	1.714	2.069	2.500	2.807	3.485
24	1.318	1.711	2.064	2.492	2.797	3.467
25	1.316	1.708	2.060	2.485	2.787	3.450
26	1.315	1.706	2.056	2.479	2.779	3.435
27	1.314	1.703	2.052	2.473	2.771	3.421
28	1.313	1.701	2.048	2.467	2.763	3.408
29	1.311	1.699	2.045	2.462	2.756	3.396
Inf.	1.282	1.645	1.960	2.326	2.576	3.090